

CODEN:LUTFD2/(TFRT-5280)/1-067/(1982)

TREDIMENSIONELL DATORGRAFIK OCH ANIMERING AV INDUSTRIROBOT

MIKAEL RIGNELL

INSTITUTIONEN FÖR REGLERTEKNIK  
LUNDS TEKNISKA HÖGSKOLA

SEPTEMBER 1982

<b>LUND INSTITUTE OF TECHNOLOGY</b> DEPARTMENT OF AUTOMATIC CONTROL Box 725 S 220 07 Lund 7 Sweden		Document name Report  Date of issue September 1982  Document number LUTFD2/(TFRT-5280)/1-067/(1982)
Author(s)  Mikael Rignell		Supervisor Hilding Elmquist  Sponsoring organization
<b>Title and subtitle</b>  Three dimensionel computer graphics and animation of an industrial robot  (Tre dimensionell datorgrafik och animering av industrirobot.)		
<b>Abstract</b>  A three dimensionel graphics package has been developed. It encludes scan conversion of polygous, hidden surface removal, shading and transformation of coordinate systems. It has been used for animation of an industrial robot.  The movement of the robot is specified in a cartesian coordinate system using jousticks.		
<b>Key words</b>  Computer graphics, robotics		
<b>Classification system and/or index terms (if any)</b>		
<b>Supplementary bibliographical information</b>		
<b>ISSN and key title</b>		<b>ISBN</b>
Language Swedish	Number of pages 67	Recipient's notes
<b>Security classification</b>		

Tredimensionell datorgrafik och animering av industrirobot.

Examensarbete av

Mikael Rignell

Handledare:

Hilding Elmqvist

Institutionen för Reglerteknik, LTH

## Innehåll

1. INLEDNING
2. GRUNDER I DATORGRAFIK
3. TREDIMENSIONELL GRAFIK
4. ELIMINERING AV DOLDA YTOR
5. UPPBYGGNAD AV GRAFISKA MODELLER
6. ANIMERING AV ROBOT
7. BESKRIVNING AV HUVUDPROGRAM
8. SAMMANFATTNING
9. REFERENSER

Appendix 1 Programlistning

Appendix 2 Beräkningar till kap 6

## 1. INLEDNING

Färbildsgrafik är ett område som utvecklas alltmer och man finner ständigt nya användningsområden. Ett viktigt område är operatörskommunikation, där stora manöverpaneler kan ersättas med en terminal med tillhörande färbildsmonitor. Ett annat exempel på tillämpning är i flygsimulatorer. CAD-CAM är ett välkänt begrepp. Också här tar man hjälp av färbildsgrafik. Slutligen kan nämnas de otal TV-spel som finns i marknaden.

Avsikten med det här examensarbetet har varit att studera några av de möjligheter färbildsgrafik ger. Första steget var att med hjälp av det interface som fanns, kunna rita bilder med djupverkan ("tredimensionella bilder"). För att få mer realism i bilden måste dolda ytor tas bort. Detta sker med en s.k. hidden surface-algoritm. Slutligen studerades animering med specialtillämpningen industrirobot. Här lades särskild vikt vid att kunna flytta robotarmen i ett kartesiskt koordinatsystem till en godtycklig punkt och med en godtycklig riktning på armens spets.

Jag vill framföra ett stort tack till Hilding Elmqvist, min med oändligt tålmod utrustade handledare.

## 2. GRUNDER I FÄRGBILDSGRAFIK

Datorgrafik kan uppdelas i passiv datorgrafik, där man ritar upp en bild på skärmen och för övrigt inte kan påverka dess utseende, och i interaktiv datorgrafik, där observatören i större eller mindre utsträckning kan ändra bilden. Exempel på passiv datorgrafik är uppritandet av detaljerade och verklighetstrognä bilder, eller om man så vill "datorkonst". Beräkningarna för att rita upp dessa bilder tar i allmänhet lång tid. Vid interaktiv datorgrafik får man i regel möja sig med enklare bilder för att inte få för långsam ändring i bilden. Men i t.ex. en flygsimulator får man en naturlig rörelse även i en avancerad bild.

Ett modernt system för visning av en bild består av ett digitalt bildminne (frame buffer), en TV-monitor och ett interface (display controller). I bildminnet lagras information om varje pixels\* tillstånd i en matris. Interfacet överför innehållet i frame buffer till skärmen. I vårt fall arbetar vi med två bildplan (två frame buffers), ett främre och ett bakre. På så sätt kan man hela tiden visa en fullständig bild på skärmen, genom att rita i det bakre planet och sedan byta plats på de båda bildplanen.

För att kunna plotta punkterna behövs ett koordinatsystem, där varje punkt har en x-koordinat och en y-koordinat. Dessa koordinater är heltal. I det aktuella fallet har skärmen 512x512 pixel. Följaktligen går x- och y-koordinaterna från 0 till 511. Skärmmens koordinatsystem framgår av fig 1.

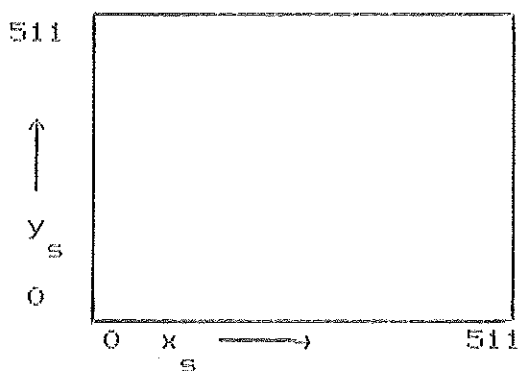


fig 1

När man skall rita en bild på skärmen, är det lämpligt att ha en procedur för att rita ut en linje så man slipper behandla en pixel i taget. (Kurvor kan approximeras med en följd av korta, rätta linjer). P.g.a. att skärmen har ändlig upplösning (ändligt antal pixel), kan inte andra linjer än lodräta och vägräta visas korrekt på skärmen. I övriga fall

(\*) Pixel = det minsta bildelementet eller "punkt på skärmen".

hamnar en del av pixeln vid sidan av linjen. Det finns flera olika algoritmer för att bestämma vilka punkter som skall sättas när en rät linje skall skrivas ut och för den intresserade hänvisas till Newman&Sproull. Numera har denna linjedragning ofta realisérats i hårdvaran.

### Hårdvaruinterface

```

procedure CmiCol(col:integer);
    anger den färg pixeln skall ha
procedure CmiDot(x,y:integer);
    "tänder" pixeln med koordinaten (x,y)
procedure PixelLine(xpixelold, ypixelold,
                     xpixel, ypixel: integer);
    Drar en linje från (xpixelold, ypixelold)
    till (xpixels, ypixels)
procedure TwoPlanes;
    två bildplan används
procedure DrawBackground;
    rita i det bakre bildplanet
procedure DrawForeground;
    rita i det främre bildplanet
procedure SwapPlane;
    främre och bakre bildplanet byter plats
procedure CmiErase;
    suddar det bildplan man ritar i
procedure JoySticks(var values:joysticktype);
    ger styrspakarnas värde
procedure PrintExactScreen;
    ger en papperskopia av bilden på skärmen
procedure BlueShade;
    anger att ett anrop till CmiDot ger en blå nyans

```

### 3. TREDIMENSIONELL GRAFIK

Ofta behöver man kunna rita ut tredimensionella föremål och scener. Då är nyckelordet realism. Första steget är att ta tillvara den djupinformation som finns i beskrivningen av objektet. Detta görs genom en perspektivtransformation av det tredimensionella föremålet på den tvådimensionella skärmen. I perspektivtransformationen ingår att dividera alla punkters bredd- resp. höjdkoordinater med deras resp. djupkoordinater.

Ett stort steg mot realism är att ta bort dolda ytor så att bara de som syns i verkligheten återfinns på skärmen, s.k. hidden surface removal (se kap 4). Här kan även begreppet toning (shading) nämnas. Toning innebär man tänker sig att en eller flera ljuskällor belyser föremålet och sedan räknar man ut hur mycket ljus som reflekteras från de olika ytorna och sätter de olika pixelets intensiteter efter detta.

En lämplig byggsten för att bygga upp en tredimensionell modell är polyedern. Dess kantytör utgöres av polygoner som kan beskrivas av en lista på dess hörnpunkter.

#### 3.1 Koordinatsystem

För att beskriva det tredimensionella föremålet, behövs ett koordinatsystem. Det benämns världskoordinatsystemet eller world coordinate system (wcs) och är högerortonormerat. Dess origo, axlarnas riktning samt längdmåttet kan fritt väljas beroende på användning. I vårt fall befinner sig i utgångsläget origo mitt på skärmen samt har koordinataxlarna orienterade enligt fig 2.

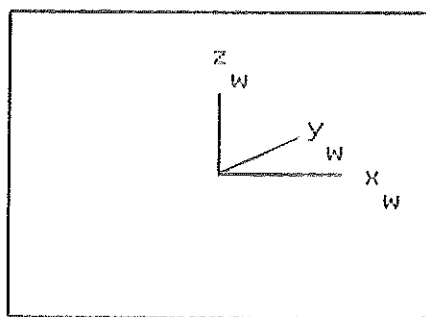


Fig 2

#### 3.2 Transformationer

Geometriska transformationer spelar en viktig roll vid genereringen av tredimensionella bilder. De används för att ange olika objekts position och orientering i förhållande till varandra. De används också när man vill flytta den punkt varifrån man ser på objekten. Slutligen används de även vid perspektivtransformation för att projicera det

tredimensionella objektet på den tvådimensionella skärmen.

Vareje rörelse kan beskrivas som en kombination av translationer och rotationer. Translationer och rotationer kan representeras av  $4 \times 4$  matriser. Dessa multipliceras på vektorer som beskriver den aktuella punkten.

### Translation

Transformationen som translaterar en punkt  $(x, y, z)$  till en annan punkt  $(x', y', z')$  är:

$$\begin{bmatrix} x' & y' & z' & 1 \end{bmatrix} = \begin{bmatrix} x & y & z & 1 \end{bmatrix} \begin{bmatrix} 1 & 0 & 0 & 0 \\ 0 & 1 & 0 & 0 \\ 0 & 0 & 1 & 0 \\ Tx & Ty & Tz & 1 \end{bmatrix} \quad (1)$$

$T_x, T_y, T_z$  är translationens komponenter i  $x$ -,  $y$ - resp.  $z$ -riktningen. Den fjärde koordinaten (ettan) gör beskrivningen av translationen enkel.

### Rotation

Rotation kring  $x$ -axeln beskrivs med följande transformation:

$$\begin{bmatrix} x' & y' & z' & 1 \end{bmatrix} = \begin{bmatrix} x & y & z & 1 \end{bmatrix} \begin{bmatrix} 1 & 0 & 0 & 0 \\ 0 & \cos\theta & -\sin\theta & 0 \\ 0 & \sin\theta & \cos\theta & 0 \\ 0 & 0 & 0 & 1 \end{bmatrix} \quad (2)$$

Rotation kring  $y$ -axeln ges av:

$$\begin{bmatrix} x' & y' & z' & 1 \end{bmatrix} = \begin{bmatrix} x & y & z & 1 \end{bmatrix} \begin{bmatrix} \cos\theta & 0 & \sin\theta & 0 \\ 0 & 1 & 0 & 0 \\ -\sin\theta & 0 & \cos\theta & 0 \\ 0 & 0 & 0 & 1 \end{bmatrix} \quad (3)$$

Rotation kring  $z$ -axeln ges av:

$$\begin{bmatrix} x' & y' & z' & 1 \end{bmatrix} = \begin{bmatrix} x & y & z & 1 \end{bmatrix} \begin{bmatrix} \cos\theta & -\sin\theta & 0 & 0 \\ \sin\theta & \cos\theta & 0 & 0 \\ 0 & 0 & 1 & 0 \\ 0 & 0 & 0 & 1 \end{bmatrix} \quad (4)$$

Alla rotationer sker moturs om man ser i respektive koordinataxels riktning från origo, se fig 3. Rotation kring en godtycklig axel kan ske genom kombination, (s.k. konkatenering, se nedan), av rotationerna kring koordinataxlarna. Om axeln inte går genom origo, måste den först translateras så att den gör det. Sedan kan rotationen utföras och slutligen skall inversen till den första translationen ske.

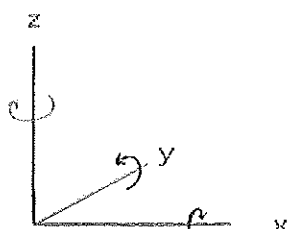


fig 3

## Skalning

En tredje typ av transformation är skalning. Man kan här bestämma skalfaktorn i de olika koordinatriktningsarna separat.

$$\begin{bmatrix} x' & y' & z' & 1 \end{bmatrix} = \begin{bmatrix} x & y & z & 1 \end{bmatrix} \begin{bmatrix} Sx & 0 & 0 & 0 \\ 0 & Sy & 0 & 0 \\ 0 & 0 & Sz & 0 \\ 0 & 0 & 0 & 1 \end{bmatrix}$$

## Konkatenering

Samma resultat som vid succesiv användning av transformationer kan uppnås med en enda transformationsmatris, konkateneringen (ung. sammanbindningen) av sekvensen. Antag att två transformationer  $T_1$  och  $T_2$  skall  

$$T_3 = T_1 \cdot T_2$$
  
succesivt appliceras. Dessa kan ersättas med en enda transformation  $T_3$  som helt enkelt är produkten av  $T_1$  och  $T_2$ .

Detta kan direkt demonsteras:

Punkten  $(x, y, z)$  transformeras till  $(x', y', z')$  av  $\begin{pmatrix} x' \\ y' \\ z' \end{pmatrix} = \begin{pmatrix} 1 & 0 & 0 \\ 0 & 1 & 0 \\ 0 & 0 & -1 \end{pmatrix} \begin{pmatrix} x \\ y \\ z \end{pmatrix}$

$$Ex^2 - y^2 - z^2 - 13 = Ex - y - z - 13 \equiv T_1$$

Punkten  $(x'', y'', z'')$  fås genom att multiplicera på  $T_2$ :

$$[x^{ij}, y^{ij}, z^{ij}, 1] = [x^j y^i z^j 1] T_2 = ([x y z 1] T_1) T_2 =$$

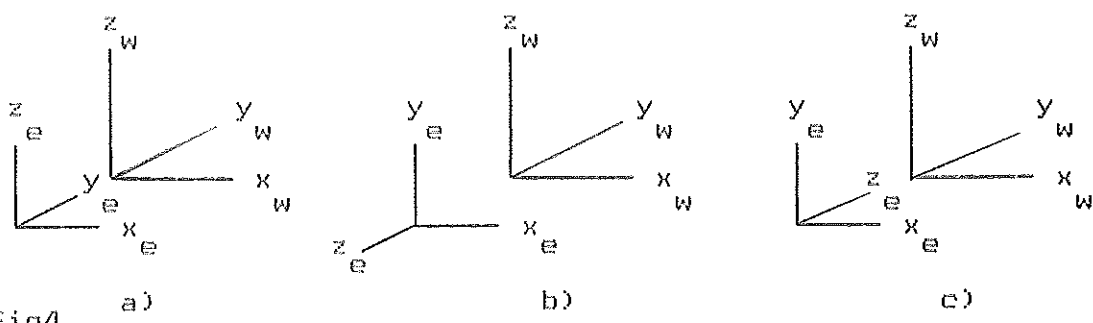
$$Ex \ y \ z \ 10 \ (T_1 T_2).$$

### Ögonkoordinatsystemet

Första steget i transformationen från wcs till skärmkoordinatsystemet blir att överföra från wcs till ögonkoordinatsystemet (eye coordinate system, ecs). Origon för ecs är fast placerad i den s.k. betraktelsepunkten (viewpoint) och z-axeln pekar mot mitten i synfältet. För att x- och y-axlarna skall ha samma riktningar som skärmens x- och y-axlar samt för att z-axeln skall peka mot föremålet, väljs ecs att vara vänsterortonormerat. Övergången från wcs till ecs bestäms av transformationen V (viewing transformation).

$$\begin{bmatrix} x_e & y_e & z_e & 1 \end{bmatrix} = \begin{bmatrix} x_w & y_w & z_w & 1 \end{bmatrix} V$$

ecs förhållande till wcs framgår av fig 4.



Gången i beräkningen av V är i vårt fall som följer.

1. Translation av koordinatsystemet till  $(0, y_{e0}, 0)$ .

Punkten  $(0, y_{e0}, 0)$  i det ursprungliga koordinatsystemet blir origo (fig 4a).  $y_{e0}$  är här negativt.

$$T_1 = \begin{bmatrix} 1 & 0 & 0 & 0 \\ 0 & 1 & 0 & 0 \\ 0 & 0 & 1 & 0 \\ 0 & -y_{e0} & 0 & 1 \end{bmatrix}$$

2. Rotation +90° kring x-axeln (fig 4b).

$$T_2 = \begin{bmatrix} 1 & 0 & 0 & 0 \\ 0 & 0 & -1 & 0 \\ 0 & 1 & 0 & 0 \\ 0 & 0 & 0 & 1 \end{bmatrix}$$

3. Omvandling från höger- till vänster-koordinatsystem (fig 4c).

$$T_3 = \begin{bmatrix} 1 & 0 & 0 & 0 \\ 0 & 1 & 0 & 0 \\ 0 & 0 & -1 & 0 \\ 0 & 0 & 0 & 1 \end{bmatrix}$$

$$V = T_1 T_2 T_3 = \begin{bmatrix} 1 & 0 & 0 & 0 \\ 0 & 0 & -1 & 0 \\ 0 & 1 & 0 & 0 \\ 0 & 0 & 0 & 1 \end{bmatrix}$$

### Perspektivtransformation

Nu kan en bild med perspektiv genereras genom att i tur och ordning projicera föremålets punkter på bildskärmen. Skärmens koordinater för en punkt i ecs ges av:

$$x_s = \frac{Dx}{Sz} \quad y_s = \frac{Dy}{Sz}$$

D är avståndet från viewpoint till skärmen och S är halva skärmens bredd. För att få ett riktigt perspektiv måste man alltså dividera med varje punkts djup. För räta linjer räcker det dock att transformera endast ändpunkterna och sedan interpolera, eftersom transformationen är linjär.

När man skall ta bort dolda ytor eller linjer måste man veta exakt djup för varje punkt på föremålet. Eftersom beräkningarna i hiddensurface-algoritmen sker i skärmens koordinatsystem (screen coordinate system, scs), måste en djupkoordinat införas i detta koordinatsystem, z<sub>s</sub>. (z-axeln pekar inåt skärmen).

En punkt  $(x_s, y_s, z_s)$  projiceras på skärm punkten  $(x_s^e, y_s^e)$ .

Eftersom alla punkter som projiceras på en speciell punkt på skärmen, bara kan skilja sig på  $z$ -koordinaten, blir jämförelsen av djup enkel.

### Skärmens koordinatsystem

Beräkningen av djupkoordinaten  $z_s$  måste vara noggrann om resultatet skall vara användbart vid hiddensurface-beräkningarna. Speciellt måste rät linjer i ecs transformeras till rät linjer i scs. Lika viktigt är att plan transformeras på plan. Följande perspektivtransformation uppfyller dessa villkor.

$$x_s = \frac{x_e}{w} \quad y_s = \frac{y_e}{w} \quad z_s = \frac{z_e}{\frac{w}{(1-D/F)w}}$$

$$w = \frac{cz_e}{D}$$

### Några kommentarer:

- Om man vet att  $D \leq z_e \leq F$ , kan man maximera upplösningen i djupled genom att välja dessa gränser i "synfältspyramiden", se fig 5.

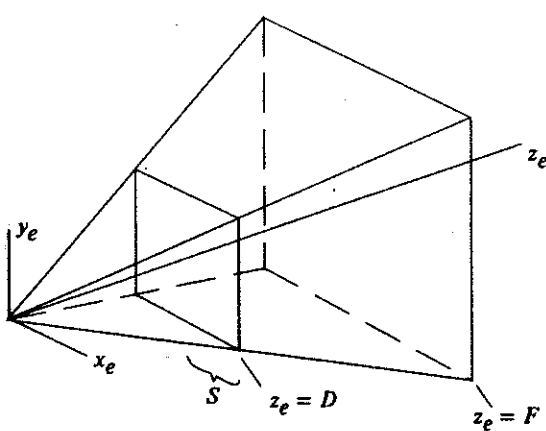


Fig 5 (Hämtad från Newman&Sproull)

$z_e = D$  transformeras på  $z_s = 0$  och  $z_e = F$  transformeras på  $z_s = 1$ , dvs.  $0 \leq z_s \leq 1$ .

– Perspektivtransformationen överför den trunkerade synfältspyramiden till en "låda" (viewbox) i ecs där  $-i\text{fx} \leq x \leq i\text{fx}$ ,  $-i\text{fy} \leq y \leq i\text{fy}$  och  $0 \leq z \leq i\text{fz}$ . Dessa gränser ger en "standard viewbox". Värdena kan sedan genom skalning och translation justeras så att de passar hårdvaran.

– Värdet av  $w$  är direkt relaterat till en punkts avstånd från viewpoint längs  $z$ -axeln.  $w$  skall ses som en fjärde koordinat i ecs, innehållande "perspektivinformation".

Transformationen kan enklast beskrivas m.h.a. en  $4 \times 4$  matris för de linjära delarna av beräkningen, och ett separat steg för divisionen.

$$\begin{bmatrix} x & y & z & w \end{bmatrix} = \begin{bmatrix} x & y & z & 1 \end{bmatrix} P$$

$$P = \begin{bmatrix} 1 & 0 & 0 & 0 \\ 0 & 1 & 0 & 0 \\ 0 & 0 & S/(D(1-D/F)) & S/D \\ 0 & 0 & -S/(1-D/F) & 0 \end{bmatrix}$$

$$\frac{x}{s} = \frac{x}{w} \quad \frac{y}{s} = \frac{y}{w} \quad \frac{z}{s} = \frac{z}{w}$$

Indexet  $h$  står för homogent koordinatsystem. Det homogena koordinatsystemet (homogeneous coordinate system, hcs) är ett matematiskt hjälpmödel för att beskriva projektionstransformationer. För att transformera en punkt  $(x, y, z)$  i vanliga tredimensionella koordinater till en homogen representation, väljer vi bara ett tal  $w$  skilt från noll och bildar vektorn  $[wx \ yw \ wz \ w]$ . Talet  $w$  kallas skalfaktorn eller den homogena koordinaten. En homogen punkt  $[a \ b \ c \ d]$  kan återföras till vanliga tredimensionella koordinater genom att dividera med skalfaktorn:  $(a/d \ b/d \ c/d)$ . Translation, rotation och skalning kan utföras som tidigare även på de homogena koordinaterna.

## Klippling

För att linjer eller delar av linjer bakom viewpoint eller på annat sätt utanför viewbox, inte skall ritas ut på skärmen, måste de klippas. Detta skall göras efter transformationen till homogena koordinater (P-matrisen), men innan divisionen med den homogena koordinaten.

Klipningsgränserna blir:  $-w \leq x \leq w$ ,  $-w \leq y \leq w$  och  $0 \leq z \leq w$

I appendix 1 sid 2 återfinns klippningsalgoritmen i procedure Clip3. Där har s.k. window-edge koordinater

använts. De ger avståndet mellan den aktuella punkten och var och en av klippningsplanen. Punkten  $(x, y, z, w)$  representeras av 6-elementsvektorn  $[w+x, w-x, w+y, w-y, 0+z, wz]$ . Om ingen av komponenterna är negativ, ligger punkten innanför klippningsplanen. Om en eller flera komponenter är negativa, måste klippning ske. P.g.a. att transformationen till window-edge koordinater är linjär, kan punkter längs en linje interpoleras m.h.a. ändpunkterna. Detta är nödvändigt om en linje bara delvis skall klippas. Om linjen ligger helt utanför viewbox, sätts flaggan outsideclipbox till true. Härmed anger man att denna linje inte skall ritas ut, vilket annars kan bli fallet om viewbox gränser ligger innanför skärmens gränser.

### Viewport

Genom att efter klippning och innan division applicera ytterliggare en matris benämnd  $S$ , kan man placera bilden på valfritt ställe på skärmen. Även skalfaktorerna i  $x$ - och  $y$ -led kan väljas,

$$S = \begin{bmatrix} V & 0 & 0 & 0 \\ sx & V & 0 & 0 \\ 0 & sy & 0 & 0 \\ 0 & 0 & 1 & 0 \\ cx & cy & 0 & 1 \\ cx & cy & 0 & 1 \end{bmatrix}$$

Denna bildruta på skärmen kallas **viewport**. Den har centrum i punkten  $(V_{cx}, V_{cy})$  och är  $2V_{sx}$  bred och  $2V_{sy}$  enheter hög.

### Sammanfattning av transformationerna

Alla de behandlade transformationerna kan sammanfattas enligt

$$[x \ y \ z \ w] = [x \ y \ z \ 1] V P \text{ (clip)} S$$

$$x = \frac{x}{w}, \quad y = \frac{y}{w}, \quad z = \frac{z}{w}$$

$V$  transformrar till ett vänsterortonormerat system med origo mitt på skärmen och med synfältet riktat längs  $+z$ -axeln. Matrisen  $P$  beskriver perspektivtransformationen. Klippningen appliceras på de homogena representationerna av linjer för att begränsa dem till viewbox. Slutligen används transformationen  $S$  för att utvidga standard viewbox till en godtycklig viewport på skärmen. Efter divisionen är koordinaterna i en lämplig form för användning i en hiddensurface algoritm.

### 3.3 Grafikpaket

I ett tredimensionellt grafikpaket måste man kunna utföra transformationerna enl. sammanfatningen ovan. Det görs i procedure Transform3(xm:ym:zm:real) var xs1,ys1,zs1,  
xs2,ys2,zs2:real; var notwrite:boolean)

procedure MoveTo3(x,y,z:real) anger vid vilken punkt nästa linje skall starta. Eftersom man till klippningsalgoritmen behöver en linjes båda ändpunkter, kan man i MoveTo3 bara utföra transformationen till och med homogena koordinater.

procedure LineTo3(x,y,z:real) anger en linjes slutpunkt och om MoveTo3 inte anropas precis efter LineTo3 anropats, är det även nästa linjes begynnelsepunkt.

Anm. Matrisen M's funktion förklaras i kapitel 5.

Dessutom har i vårt fall införts en del primitiver för att kunna betrakta bilden från olika håll. En möjlighet att bestämma viewport har också införts.

procedure Pan3(theta:real) : rotation av ecs kring  $y_e$ -axeln  
vinkeln theta. (theta i grader). Till matrisen V multipliceras en rotationsmatris (4). ecs roterar medurs då fi>0.

procedure Tilt3(fi:real) : rotation kring  $x_e$ -axeln vinkeln  
fi. Matrisen (2) används. ecs roterar medurs då fi>0.

procedure Roll3(Zchange:real) : translation av ecs i  
 $z_e$ -axelns riktning. Matris (1) med  $T_x = T_y = 0$ . Positivt  
z betyder att origo för ecs förflyttas längre ifrån origo  
för wos.

Genom kombination av Pan3 och Roll3 kan man få en horisontell rörelse enligt:  
Pan3(90);  
Roll3(x);  
Pan3(-90);

En vertikal rörelse ges av:

```
Tilt3(90);
Roll3(y);
Tilt(-90);
```

procedure Zoom3(Dchange:real) : Här går man direkt in och ändrar konstanten D i P-matrisen. Om förhållandet D/S är litet blir bilden lik den man får med ett vidvinkelobjektiv. Om förhållandet i stället är stort får man en telefoto-bild.

Man kan med hjälp av Zoom3 bestämma hur mycket av en bild man vill se, man bestämmer ett fönster (window).

procedure NewViewport3(vx1,vxr,vyb,vyt:real) : Var  
innehållet i det fönster som bestäms i Zoom3, skall placeras  
på skärmen, kan avgöras m.h.a. NewViewport3. Argumenten är  
x-koordinaterna för viewportens vänstra resp. högra kant  
samt y-koordinaterna för undre och övre kanten.

#### 4. ELIMINERING AV DOLDA YTOR

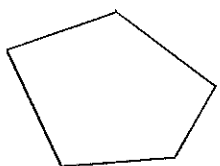
I verkliga livet följer ogenomskinliga föremål vissa ytor och hindrar oss från att se dem. Inom datorgrafik måste man m.h.a. en speciell algoritm räkna ut vilka ytor som skall visas på skärmen och vilka som inte skall göra det. Det finns flera olika algoritmer och här skall bara den tas upp som går under namnet "depth-buffer algorithm". I den håller man för varje pixel på skärmen reda på djupet för det objekt inom pixeln som ligger närmast observatören. Detta görs i matrisen depth, som är en 512x512 matris = antal pixel på skärmen.

##### Algoritmen

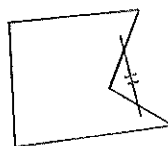
1. För alla pixel på skärmen: sätt  $\text{depth}[x,y]$  till ett värde större än det maximalt tillåtna z-värdet i scs.
2. Finn för varje polygon de pixel som ligger innanför polygonens gränser. Gör för varje av dessa pixel följande.
  - a) Beräkna djupet z för polygonpunkten  $(x,y)$ .
  - b) Om  $z < \text{depth}[x,y]$ , så ligger den del av polygonen närmare betraktaren än någon tidigare. I så fall skall  $\text{depth}[x,y]$  få värdet z, och punkten skall sättas. Om  $z > \text{depth}[x,y]$  skall inget göras.

##### Objektens ytor

Alla ytor förutsätter bestå av konvexa polygoner. Denna typ av polygon karakteriseras av att från varje punkt i polygonen kan man nå vilken annan punkt som helst i polygonen, utan att gå utanför denna. Se fig 6.



konvex polygon



ej konvex

fig 6

Detta villkor underlättar beräkningarna i proceduren HiddenSurface.

En yta behandlas i taget. Först sätts hörnpunkterna, angivna i scs, in i en dubbellänkad lista. Detta görs m.h.a. procedure StartPolygon, procedure NextVertex och procedure LastVertex. De har alla en punkts x-, y- och z-koordinat som argument. I StartPolygon initieras den dubbellänkade listan samt utföres steget fram till klippningen i transformationen

Från wos (egentligen från modellkoordinatsystemet, se kap 5) till scs. I NextVertex sätts en kantlinjes ändpunkter in i listan och om linjen ev. p.g.a. klippning fått en ny begynnelsepunkt eller om föregående anrop var till StartPolygon, så sätts även linjens begynnelsepunkt in. Med ett anrop till LastVertex sätts den sista hörnpunkten in. LastVertex fungerar på samma sätt som NextVertex förutom att proceduren HiddenSurface anropas efter det att den sista punkten satts in i listan.

Det är viktigt att en polygons hörnpunkter anges medurs, sett framifrån (utifrån). (De objekt som behandlas antas kunna byggas upp av ogenomskinliga polyedrar och man kan inte krypa inuti polyedern). Varför det är viktigt att ange hörnpunkterna i denna ordning framgår nedan.

### HiddenSurface

Depth-buffer algoritmen är enkel. Att det inte är lika enkelt att realisera den programmässigt torde framgå av procedure HiddenSurface (appendix 1 sid 4). Depth-buffer algoritmen utföres för en polygon i taget och man arbetar hela tiden med skärmskordinater.

Som första steg beräknas normalen till ytan. Detta görs genom att ta kryssprodukten av vektorerna mellan första och andra hörnpunkten i den länkade listan och den mellan andra och tredje.

$$\begin{aligned} PQ &= \text{punkt2} - \text{punkt1}, PR = \text{punkt3} - \text{punkt2} \\ \text{Normalen} &= PQ \times PR = \\ &(PQ_y * PR_z - PQ_z * PR_y, PQ_z * PR_x - PQ_x * PR_z, PQ_x * PR_y - PQ_y * PR_x) \\ &\quad y \quad z \quad z \quad y \quad z \quad x \quad x \quad z \quad x \quad y \quad y \quad x \end{aligned}$$

För att normalen skall peka åt rätt håll, är det viktigt att hörnpunkterna lagts in medurs i listan. Om normalens z-komponent har ett positivt värde, betyder det att normalen pekar inåt skärmen (scs är ett vänsterortonormerat koordinatsystem, med z-riktningen inåt skärmen). Eftersom vi bara arbetar med slutna volymer, innebär en positiv z-komponent att ytan täcks av en annan yta och kan elimineras. En förenklad hidden surface kallad backface removal, kan göras genom att om  $z < 0$  rita ut den aktuella polygonen, annars skall inget göras.

Om z-komponenten är negativ, blir nästa steg att beräkna polygonplanetets ekvation på formen  $ax+by+cz+d=0$ . ( $a,b,c$ ) är ytans normal och är redan beräknad. Återstår att beräkna  $d$  genom att sätta in en känd punkt som ligger i planet, i ekvationen ovan:  $d = -ax-by-cz$ . Om det visar sig att både  $a,b$  och  $c$  har värden nära noll, ligger de tre polygonpunkterna, som används för beräkningen, praktiskt taget på samma linje. Då har en felaktig polygon lagts in i listan och en felutskrift sker varpå man hoppar ut ur HiddenSurface via borttagning av den länkade listan.

Annars kontrolleras att alla övriga hörnpunkter ligger i samma plan, genom insättning i planetens ekvation. Om en punkt inte ligger i planet, lämnas felutskrift och hopp sker ut ur HiddenSurface via borttagning av den länkade listan.

Om hopp inte skett ut ur proceduren, blir nästa steg att dividera koefficienterna  $a, b$  och  $d$  med  $c$ . Detta för att underlätta beräkningarna av z-koordinater senare. Är  $c \cdot 10^{-6}$  får  $a, b$  och  $d$  närmevärden enligt  $a = a \cdot 10^6$ ,  $b = b \cdot 10^6$  och  $d = d \cdot 10^6$ . Detta för att inte riskera alltför stora värden på koefficienterna.

### Scanconversion

Den metod som används för att gå igenom varje pixel inom polygonen, kallas scanconversion. För varje x-värde går man igenom alla y-värden och beräknar de olika punkternas z-koordinat. Dessa jämföres med värdet i depth-buffern. Man sveper eller "scannar" polygonen systematiskt (se fig 7).

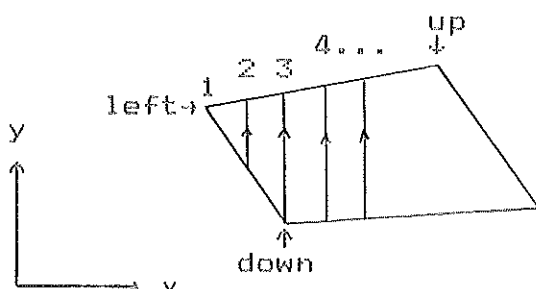


Fig 7

Pekaren *left* sätts att peka på polygonpunkten med den minsta x-koordinaten. Om flera hörnpunkter har samma minsta x-koordinat, väljs den först funna. Pekarna *up* och *down* pekar på de hörnpunkter som "står i tur" på ovan- resp undersidan av polygonen, dvs. de punkter som ligger närmast före och efter den *left* pekar på.

Man måste hela tiden veta lutningen för de båda kantlinjerna som begränsar det aktuella svepet. Detta för att rätt antal y-koordinater skall behandlas. Efter ett svep som börjar eller slutar i en hörnpunkt, måste man beräkna en ny lutning för den sida där hörnpunkten befinner sig. Flaggorna *DeltaUpChange* och *DeltaDownChange* anger om övre resp. undre begränsningslinjens lutning skall ändras.

Vid beräkningen av en kantlinjes lutning, skiljer vi på fallen (a) linjen lutar mindre än  $45^\circ$  och (b) linjen lutar mer än  $45^\circ$ . I fall (a) sätts  $\Delta x$  till ett ( $\Delta x$  kallas i programmet *DeltaxUp* resp. *DeltaxDown* för övre resp. undre begränsningslinjen), och  $\Delta y$  (*DeltayUp* resp. *DeltayDown*)

beräknas, se fig 8a. (Lutningen =  $\Delta y / \Delta x$ ).  $-1 \leq \Delta y \leq 1$ .

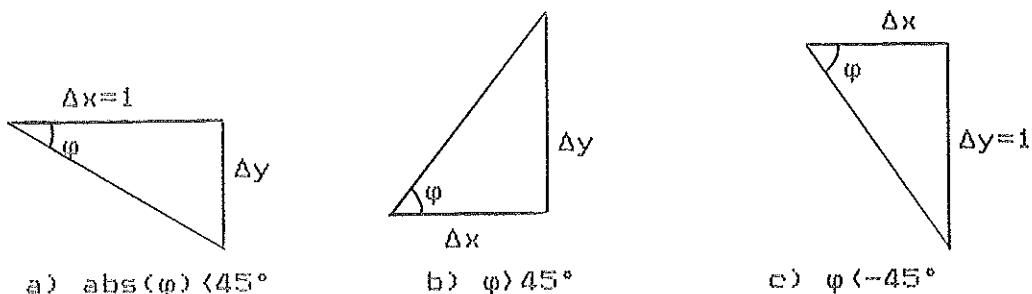


Fig 8

I fall (b) sätts  $\Delta y$  till +1 (positiv lutning) eller -1 (negativ lutning) och  $\Delta x$  beräknas, se fig 8b och c. Det gäller  $0 \leq \Delta x \leq 1$ . I specialfallet att linjen bara ändras i z-led, kommer  $\Delta x$  och  $\Delta y$  båda att bli noll. Men en polygon som innehåller en sådan linje, ligger i det plan vinkelrätt mot skärmplanet, och kommer bara att synas som ett streck.

Kantpunkterna behandlas för sig och punkterna inuti polygonen för sig. På så sätt kan man markera konturerna genom att sätta annan färg på kanterna än på polygonen i övrigt.

Först beräknas lutningarna för de båda kantlinjer som utgår från den punkt left pekar på. Därefter sker följande: För varje x-värde, (betecknas i programmet `xt`), mellan två hörnpunkter kollas först övre kantlinjen. I hjälppvariabeln `yhelpup` och dess trunnerade version `yhelpuptrunc`, häller man reda på vilket y-värde den aktuella kantpunkten har. Det finns även en hjälppvariabel `xhelpup` med tillhörande trunnerade värde `xhelpuptrunc`, som ger kantpunktens x-värde. Genom insättning i planetets ekvation av `xhelpup` och `yhelpup` beräknas punktens z-värde. Om detta värde är mindre än `depth[xt,yhelpuptrunc]`, sätts pixeln och `depth[xt,yhelpuptrunc]` tilldelas värdet av z. Därefter inkrementeras `yhelpup` med det tidigare beräknade `DeltayUp` varefter `yhelpuptrunc` får det nya `yhelpup`s trunnerade värde. Till `xhelpup` adderas `DeltaxUp`. `xhelpuptrunc` får `xhelpup`s trunnerade värde. Innan någon punkt med x-koordinat `xt` behandlats, är `xhelpuptrunc=xt`. Om det nya `xhelpuptrunc` har samma värde som innan inkrementeringen, innebär detta att linjen lutar mer än  $45^\circ$ , och `yhelpuptrunc` har ändrats en enhet. Därmed har man en ny punkt precis ovanför eller under den tidigare och beräkning av z-koordinat etc. sker som tidigare. Om linjens lutning är nära  $90^\circ$  är `DeltaxUp` litet och man kan på detta sätt ligga flera varv i while-satsen och flera pixel ovanpå varandra kan sättas.

Om `xhelpuptrunc > xt` fortsätter vi med den undre kanten. (Nästa punkt som behandlas på den övre kanten blir `(xhelpup,yhelpup,z)`). Om `yhelpuptrunc` får ett värde större än y-koordinaten för den hörnpunkt på övre kanten som "står i tur" (vid positiv lutning mer än  $45^\circ$ ) eller mindre än

hörnpunktens y-värde (vid negativ lutning mindre än  $-45^\circ$ ), har vi nått hörnpunkten och för att undvika att punkter utanför polygonen sätts, fortsätter vi med undre kanten.

Den undre kantlinjen behandlas analogt med den övre. Hjälpvariablerna är här `yhelpdown`, `yhelpdowntrunc`, `xhelpdown`, `xhelpdowntrunc`. också här ser man till att ingen punkt utanför kanten sätts.

Nästa steg blir att behandla punkterna mellan kanterna. Detta görs för x-värdena `leftx.x` t.o.m. `Nextxtrunc-1`. Hjälpvariablerna `xscanup` och `yscanup` får värdena av x- resp. y-koordinaten för den punkt på övre begränsningslinjen som har minst y-koordinat i det aktuella svepet. P.s.s. får `xscandown` och `yscandown` x- och y-värdena för den punkt på undre begränsningslinjen som har störst y-koordinat. För att få så bra noggrannhet som möjligt i beräkningen av z-värdet för de inre punkterna, beräknas inkrement i x- resp. y-led för svepet av de inre punkterna (`DeltaXMiddle` resp. `DeltaYMiddle`). Svepet sker för  $yt=trunc(yscandown)+1$  till  $yt=trunc(yscanup)-1$ . I varje varv beräknas z-värdet för punkten `(xhelpinternal,yhelpinternal,z)`. Jämförelse sker med `depth[xt, yt]` som tidigare. (De trunkerade värdena av `xhelpinternal` och `yhelpinternal` är `xt` och `yt`).

Specialfallet att första begränsningslinjen är vertikal måste behandlas för sig. I första steget prickas kantpunkterna ut och inget svep av inre punkter sker. I nästa steg är den vertikala linjens ändpunkter utgångspunkter för den övre resp. den undre begränsningslinjen. Eftersom svepet av inre punkter sker med början vid `x:leftx.x`, riskerar man att den vertikala kantlinjen skrivs över av inre punkter. M.h.a. flaggan `verticalline` elimineras denna risk.

Man kan enkelt ge punkterna inuti polygonen en annan färg än kantpunkterna genom att före svepet anropa proceduren `CmiCol` med ett annat färgnummer än kantens som argument. Efter svepet återställs kantfärgen. När en hel polygon behandlats, förstörs listan med hörnpunkter genom att göra `dispose` på varje element.

### Shading

Om man tänker sig att figuren belyses av en punktljuskälla, kan man uppnå effekten att vissa ytor blir ljusare än andra. Hur ljus eller mörk en yta blir beror på hur mycket ljus den reflekterar. Formeln för diffus reflektion är enligt Lambert's lag:  $E = \text{Konst} \cdot \cos(i)$ .  $E$  anger hur mycket ljus en yta reflekterar. Konst är en normeringskonstant och  $i$  är vinkelns mellan den infallande ljusstrålen och ytans normal. Vi behandlar en ljuskälla som ligger i betraktelsepunkten. Detta innebär att ingen särskild hänsyn behöver tas till skuggor.  $\cos(i)$  beräknas som skalärprodukten mellan

polygonens normal och skärmens normal.

### Exempel

Detta exempel illustrerar hur scanconversion går till. Polygonen som behandlas ges i fig 9.

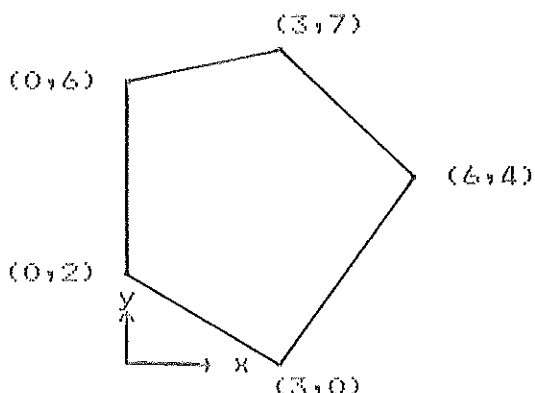


Fig 9

Planets ekvation antas ha bestämts tidigare och z-koordinaterna kan beräknas om man känner x- och y-koordinaterna. Pekaren left antas sättas att peka på punkten (0,2). Punkten (0,6) är också möjlig om den ligger före (0,2) i den länkade listan. Pekaren up pekar på (0,6) och down på (3,0). Beräkning av lutning ger DeltaxUp=0, DeltayUp=1, DeltaxDown=1, DeltayDown=-0.667. Vi har specialfallet vertikal kantlinje och punkterna (0,2), (0,3)...(0,6) behandlas varpå left flyttas att peka på (0,6) och up på (3,7). Den övre kantens lutning beräknas och ger värdena DeltaxUp=1 och DeltayUp= 0.333... För den övre kantlinjen kommer följande att hända när xt går från 0 till 3.

xhelpup	xhelpuptrunc	yhelpup	yhelpuptrunc	xt	yscanup-i
0.0	0	6	6	0	5
1.0	1	6.333	6	1	5.333
2.0	2	6.667	6	2	5.667
3.0	3	7.0	7	3	

Punkterna (0,6), (1,6), (2,6), (3,7) sätts på ovankanten. Evt. kan också punkten (3,6) sättas p.g.a. trunkeringen. På den nedre kanten sätts på motsvarande sätt punkterna (0,2), (1,1), (2,0), (3,0). De inre punkterna (1,2)-(1,5), (2,1)-(2,5) sätts till den inre färgen. (Inga inre punkter för x=0 behandlas ty här finns en vertikal begränsningslinje.)

left flyttas att peka på (3,0) och down pekar på (6,4). DeltaxDown=0.75, DeltayDown=1. Punkten (3,7) behandlas igen liksom punkten (3,0).

left flyttas till (3,7) och up till (6,4). DeltaxUp=1, DeltayUp=-1. På ovansidan sätts punkterna (3,7), (4,6), (5,5), (6,4).

På undersidan händer följande:

xhelpdown	xhelpdownt runc	yhelpdown	yhelpdownt runc	xt	yscandown+1
3.0	3	0.0	0	3	1.0
3.75	3	1.0	1	3	2.0
4.5	4	2.0	2	4	3.0
5.25	5	3.0	3	5	4.0
6.0	6	4.0	4	6	

Punkterna (3,0), (3,1), (4,2), (5,3), och (6,4) sätts. De inre punkterna (3,2)-(3,6), (4,3)-(4,5), (5,4) sväps. Den utritade polygonen får utseende enligt fig 10.

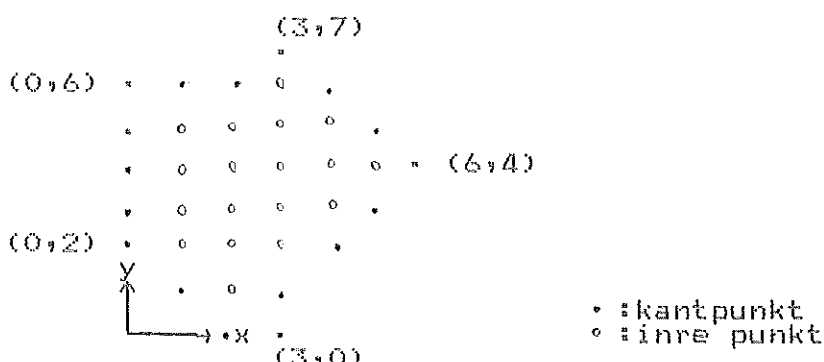


Fig 10

## 5. UPPBYGGNAD AV GRAFISKA MODELLER

Om man har flera olika objekt på en bild, kan man få dem att röra sig beroende av varandra genom att beskriva dem var och en i ett eget koordinatsystem, ett modellkoordinatsystem. Beskrivningen i detta koordinatsystem överföres sedan, m.h.a. transformationsmatrisen  $M$ , till en beskrivning i världskoordinatsystemet. Genom att ändra  $M$  kan man få objektet att röra sig i wcs.

Om punkten  $P_m$  är en punkt på objektet i modellkoordinatsystemet, blir samma punkt i wcs  $P_w = P_m M$ .

Om man t.ex. vill att objektet skall rotera kring en axel, multiplicerar man  $M$ -matrisen med rotationsmatrisen framifrån och får en ny  $M$ -matris. Om rotationsmatrisen ges av  $T$  fås den nya  $M$ -matrisen enl.  $M = T M$ .

Alla objekt beskrivs nu i sina modellkoordinatsystem, men som tidigare måste de transformeras till skärmens koordinatsystem innan de kan visas på skärmen. Första steget i denna transformation blir övergången från beskrivning i modellkoordinatsystemet till beskrivning i wcs. Sedan sker transformationer som tidigare via ögonkoordinatsystemet, homogena koordinatsystemet, klippning och viewportplacering till skärmens koordinatsystem. Enda skillnaden mot tidigare är att i proceduren Transform3  $M, V$  och  $P$ -matriserna multipliceras på punkten mot tidigare bara  $V$  och  $P$ .

$M$  sätts initierat till enhetsmatrisen. För att flytta modellkoordinatsystemets origo samt ändra koordinataxlarnas orientering relativt wcs, behövs speciella primitiver. De är:

```
procedure Translate3(Tx,Ty,Tz:real);
procedure Rotate3x(fi:real);
procedure Rotate3y(fi:real);
procedure Rotate3z(fi:real);
```

Beskrivningen av roboten (appendix 1 sid 22 samt fig 11), visar hur förflyttningen av modellkoordinatsystemet sker så att proceduren Block hela tiden kan användas för att rita ut den aktuella delen. De punkter där modellkoordinatsystemet roteras, blir också vridningsaxlar när roboten rör sig. Vinkelarna som används i rotationsmatrisen, utgör argumenten till proceduren Robot6.

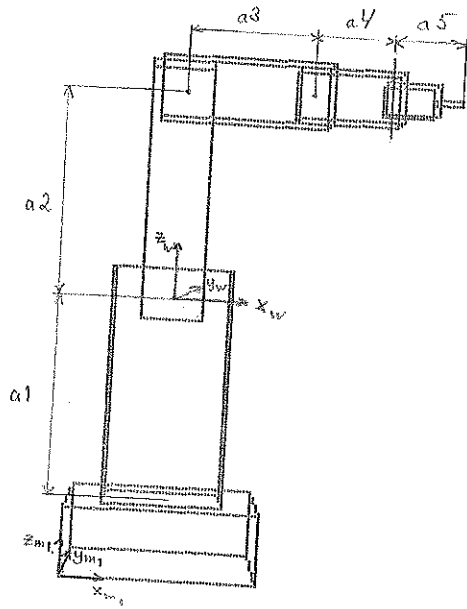


fig 11

## 6. ANIMERING AV ROBOT

Följande problem skulle lösas: Gör det möjligt att flytta robotarmen i ett kartesiskt koordinatsystem, dvs. i x-, y- och z-led. Dessutom skall handen i spetsen kunna ställas in med godtycklig orientering. (Vissa geometriska begränsningar finns dock.)

Världskoordinatsystemet väljs lämpligen för att beskriva robotens rörelse. Dess origo ligger mitt på robotens andra axel (se fig 12).

För att sätta spetsen i en bestämd punkt behövs tre frihetsgrader. Om dessutom robothandens orientering skall kunna väljas, behövs ytterliggare tre frihetsgrader. Detta motiverar att Robot6 har sex frihetsgrader.

Robotspetsens önskade läge och orientering kan anges med en matris:

$$\begin{bmatrix} n_x & n_y & n_z & 0 \\ o_x & o_y & o_z & 0 \\ a_x & a_y & a_z & 0 \\ p_x & p_y & p_z & 1 \end{bmatrix} \quad (*)$$

$p = (p_x, p_y, p_z)$  är den önskade punkten.

$n = (n_x, n_y, n_z)$  är den önskade riktningen. Den är normerad.

$o = (o_x, o_y, o_z)$  och  $a = (a_x, a_y, a_z)$  bestämmer tillsammans med  $n$ , hur koordinatsystemet i spetsen skall orienteras, se fig 12.  $n$  motsvarar x-axeln,  $o$  motsvarar y-axeln och  $a$  motsvarar z-axeln i ett högerortonormerat koordinatsystem.

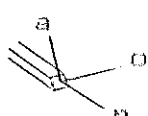


fig 12

Eftersom  $o$  och därmed  $a$  lätt kan väljas genom en rotation kring  $n$  när väl denna vektor är bestämd (rotation vinkeln  $\theta_6$ ), så kan vi förenkla räkningarna genom att räkna med de fem vinklarna som behövs för att välja  $p$  och  $n$ .

Genom att beräkna M-matrisen för robotarmens spets, får vi reda på dess läge och orientering. (\*) anger det önskade läget och orienteringen. Genom att sätta  $M$  och (\*) lika fås ett antal villkor varur vinklarna  $\theta_1-05$  kan beräknas.

Spetsens M-matris får genom att multiplicera alla de matriser anropen till Translate resp. Rotate3x, Rotate3y och Rotate3z ger upphov till. För beräkningarna hänvisas till appendix 2.

Följande villkor får:

$$\begin{matrix} p = a_5 * C_5 * C_{234} * C_1 + a_4 * C_{234} * C_1 + a_3 * C_{23} * C_1 - a_5 * S_5 * S_1 - a_2 * S_2 * C_1 \\ x \end{matrix} \quad (a1)$$

$$\begin{matrix} p = -a_5 * C_5 * C_{234} * S_1 - a_4 * C_{234} * S_1 - a_3 * C_{23} * S_1 - a_5 * S_5 * C_1 + a_2 * S_2 * S_1 \\ y \end{matrix} \quad (b1)$$

$$\begin{matrix} p = a_5 * C_5 * S_{234} + a_4 * S_{234} + a_3 * S_{23} + a_2 * C_2 + a_1 + z \\ z \end{matrix} \quad (c1)$$

$$\begin{matrix} n = C_5 * C_{234} * C_1 - S_5 * S_1 \\ x \end{matrix} \quad (d1)$$

$$\begin{matrix} n = -C_5 * C_{234} * S_1 - S_5 * C_1 \\ y \end{matrix} \quad (e1)$$

$$\begin{matrix} n = C_5 * S_{234} \\ z \end{matrix} \quad (f1)$$

$S_1 = \sin\theta_1$ ,  $C_1 = \cos\theta_1$ ,  $C_{234} = \cos(\theta_2 + \theta_3 + \theta_4)$  etc.

$a_1 - a_5$  är avstånd mellan vridningsaxlar enl. fig 12.

$z_0$  är den första vridningspunktens z-koordinat. I och med

att origo för wcs ligger på den andra axeln, blir  $z_0 = -a_1$ .

I fortsättningen används uppdelningen av M enl. appendix 2:

$$M = \begin{matrix} A_5 & A_4 & A_3 & A_2 & A_1 \\ 5 & 4 & 3 & 2 & 1 \end{matrix}$$

Resultatet av beräkningarna nedan används i proceduren NewAngles. I denna betecknas vinklarna  $\alpha_1 - \alpha_5$ .

Multiplikation med  $A_1^{-1}$  från vänster ( $MA_1^{-1} = \begin{matrix} A_1 & A_2 & A_3 & A_4 \\ 1 & 5 & 4 & 3 & 2 \end{matrix}$ ) ger villkoren:

$$\begin{matrix} C_1 * p - S_1 * p = (a_5 * C_5 + a_4) * C_{234} + a_3 * C_{23} - a_2 * S_2 \\ x \quad y \end{matrix} \quad (a2)$$

$$\begin{matrix} S_1 * p + C_1 * p = -a_5 * S_5 \\ x \quad y \end{matrix} \quad (b2)$$

$$\begin{matrix} p - z = a_5 * C_5 * S_{234} + a_4 * S_{234} + a_3 * S_{23} + a_2 * C_2 + a_1 \\ z \quad 0 \end{matrix} \quad (c2)$$

$$\begin{matrix} C_1 * n - S_1 * n = C_5 * C_{234} \\ x \quad y \end{matrix} \quad (d2)$$

$$\begin{matrix} S_1 * n + C_1 * n = -S_5 \\ x \quad y \end{matrix} \quad (e2)$$

$$\begin{matrix} n = C_5 * S_{234} \\ z \end{matrix} \quad (f2)$$

$$(b2) \text{ och } (e2) \text{ ger: } S_1 * p + C_1 * p = a_5 * (S_1 * n + C_1 * n) \quad x \quad y$$

$$\frac{s_1}{c_1} = \tan \alpha_1 = \frac{\frac{a_5 * n - p}{y}}{\frac{p - a_5 * n}{x}}$$

$$\alpha_1 = \arctan\left(\frac{\frac{a_5 * n - p}{y}}{\frac{p - a_5 * n}{x}}\right)$$

Anm. En arctanfunktion som ger värden mellan  $-\pi$  och  $+\pi$ . används. Den klarar även av fallet med noll i nämnaren.

$$s_1 := \sin \alpha_1$$

$$c_1 := \cos \alpha_1$$

$$(b2) \Rightarrow s_5 = -(s_1 * p + c_1 * p) / a_5 \\ c_5 = \pm \sqrt{1 - (s_5)^2}$$

Det positiva värdet väljs, vilket ger vriddningsvinkeln  $-\pi \leq \alpha_5 \leq \pi$ .

$$\alpha_5 = \arctan\left(\frac{s_5}{c_5}\right)$$

$$(d2, f2) \Rightarrow \alpha_{234} = \arctan\left(\frac{\frac{n}{z}}{\frac{c_1 * n}{x} - \frac{s_1 * n}{y}}\right)$$

$$s_{234} = \sin(\alpha_{234})$$

$$c_{234} = \cos(\alpha_{234})$$

Villkoret  $-\pi \leq \alpha_{234} \leq +\pi$  ger en begränsning i robotens rörelsefrihet.

$$M^{-1} A^{-1} = \begin{matrix} A & A & A \\ 1 & 2 & 3 \end{matrix} \Rightarrow$$

$$c_2 * (\frac{c_1 * p}{x} - \frac{s_1 * p}{y}) + s_2 * (\frac{p - z}{z}) - s_2 * a_1 = (a_5 * c_5 + a_4) * c_34 + a_3 * c_3 \quad (a3)$$

$$\frac{s_1 * p}{x} + \frac{c_1 * p}{y} = -s_5 * a_5 \quad (b3)$$

$$-s_2 * (\frac{c_1 * p}{x} - \frac{s_1 * p}{y}) + c_2 * (\frac{p - z}{z}) - c_2 * a_1 =$$

$$C_2 * (C_1 * n_x - S_1 * n_y) + S_2 * n_z = C_5 * C_34 \quad (d3)$$

$$S_1 * n_x + C_1 * n_y = -S_5 \quad (e3)$$

$$-S_2 * (C_1 * n_x - S_1 * n_y) + C_2 * n_z = C_5 * S_34 \quad (f3)$$

Dessa villkor ger ingen ny information, utan vi fortsätter med nästa steg.

$$MA^{-1} \begin{matrix} A \\ 1 \\ 2 \\ 3 \end{matrix} = \begin{matrix} A \\ 5 \\ 4 \end{matrix} \Rightarrow$$

$$C_23 * (C_1 * p_x - S_1 * p_y) + S_23 * (p_z - z_{\alpha 1}) - S_3 * a_2 - a_3 = (a_5 * C_5 + a_4) * C_4 \quad (a4)$$

$$S_1 * p_x + C_1 * p_y = -a_5 * S_5 \quad (b4)$$

$$-S_23 * (C_1 * p_x - S_1 * p_y) + C_23 * (p_z - z_{\alpha 1}) - a_2 * C_3 = (a_5 * C_5 + a_4) * S_4 \quad (c4)$$

$$C_23 * (C_1 * n_x - S_1 * n_y) + S_23 * n_z = C_5 * C_4 \quad (d4)$$

$$S_1 * n_x + C_1 * n_y = -S_5 \quad (e4)$$

$$-S_23 * (C_1 * n_x - S_1 * n_y) + C_23 * n_z = C_5 * S_4 \quad (f4)$$

Inför  $p_x'$  och  $p_z'$  enligt

$$p_x' = C_1 * p_x - S_1 * p_y - (a_5 * C_5 + a_4) * C_234 = a_3 * C_23 - a_2 * S_2$$

$$p_z' = p_z - z_{\alpha 1} - (a_5 * C_5 + a_4) * S_234 - a_1 = a_3 * S_23 + a_2 * C_2$$

Mittenleden är kända. Vinkelarna  $\alpha 2$  och  $\alpha 3$  söks.

$$\begin{aligned}
 (\frac{p_x}{x})^2 + (\frac{p_z}{z})^2 &= (a_3)^2 * (c_{23})^2 + (a_2)^2 * (s_{23})^2 - 2*a_2*a_3*c_{23}*s_{23} + \\
 &+ (a_3)^2 * (s_{23})^2 + (a_2)^2 * (c_{23})^2 + 2*a_2*a_3*s_{23}*c_{23} = \\
 &= (a_3)^2 + (a_2)^2 + a*a_2*a_3*s_{23}
 \end{aligned}$$

$$s_{23} = \frac{(\frac{p_x}{x})^2 + (\frac{p_z}{z})^2 - (a_3)^2 - (a_2)^2}{2*a_2*a_3}$$

$\text{abs}(s_{23}) \leq 1$  utgör ett geometriskt villkor. Om  $\text{abs}(s_{23}) > 1$  så kan den önskade punkten ej nås.

$$c_{23} = \pm \sqrt{1 - (s_{23})^2}$$

$$\alpha_3 = \arctan\left(\frac{s_{23}}{c_{23}}\right)$$

$$M A^{-1} A^{-1} A^{-1} A^{-1} = A_5 \Rightarrow$$

$$c_{234}*(c_1*p_x - s_1*p_y) + s_{234}*(p_z - a_1) - a_2*s_{34} - a_3*c_4 = a_5*c_5 + a_4 \quad (\text{a5})$$

$$s_1*p_x + c_1*p_y = -a_5*s_5 \quad (\text{b5})$$

$$-s_{234}*(c_1*p_x - s_1*p_y) + c_{234}*(p_z - a_1) - a_2*c_{34} + a_3*s_4 = 0 \quad (\text{c5})$$

$$c_{234}*c_1*n_x - c_{234}*s_1*n_y + s_{234}*n_z = c_5 \quad (\text{d5})$$

$$s_1*n_x + c_1*n_y = -s_5 \quad (\text{e5})$$

$$-s_{234}*c_1*n_x + s_{234}*s_1*n_y + c_{234}*n_z = 0 \quad (\text{f5})$$

Inför:

$$\frac{p}{x}''' = C234*(C1*p_x - S1*p_y) + S234*(p_z - a1) - a5*C5 - a4$$

$$\frac{p}{z}''' = -S234*(C1*p_x - S1*p_y) + C234*(p_z - a1)$$

$$(a5) \Rightarrow \frac{p}{x}''' = a2*S34 + a3*C4$$

$$(c5) \Rightarrow \frac{p}{z}''' = a2*C34 - a3*S4$$

Vinkelns  $\alpha_4$  sökas, genom att utveckla  $S34$  och  $C34$  fås ett linjärt ekvationssystem.

$$C4*(a2*S3+a3) + S4*a2*C3 = \frac{p}{x}'''$$

$$C4*a2*C3 - S4*(a2*S3+a3) = \frac{p}{z}'''$$

Lösning av ekvationssystemet ger:

$$\frac{S4}{C4} = \frac{\frac{p}{x}''' * a2*C3 - \frac{p}{z}''' * (a2*S3+a3)}{\frac{p}{z}''' * a2*C3 + \frac{p}{x}''' * (a2*S3+a3)}$$

$$\alpha_4 = \arctan\left(\frac{S4}{C4}\right) \text{ om } C4 \neq 0 \text{ annars } \alpha_4 = \pm\pi/2$$

En spärr har införts så att armen inte kan vikas ihop som en fällkniv. Begränsningarna för  $\alpha_4$  blir:  
 $-\pi/10 \leq \alpha_4 \leq +\pi/10$

Slutligen beräknas  $\alpha_2$  enligt  $\alpha_2 = \alpha_{234} - \alpha_4 - \alpha_3$ . Denna beräkning kan ge ett värde för  $\alpha_2$  utanför intervallet  $-\pi/2 - \pi/2$ . Men  $\alpha_2$  måste ligga innanför detta intervall och därför adderas eller subtraheras  $\pi$  ifrån det uträknade  $\alpha_2$ , så att vinkelns hamnar innanför intervallet.

De beräknade vinklarna sätts in i uttrycken  $a_1-f_1$  för att kontrollera att vinklarna ger det önskade läget och den önskade orienteringen. Om de överensstämmer väl får de globala vinklarna  $\theta_1-\theta_5$  värdena av  $\alpha_1-\alpha_5$ .

En procedur MoveRob har införts med vars hjälp man kan placera robotspetsen på önskad punkt och med önskad riktning. Med denna kan man skriva program för hu roboten skall röra sig, t.ex. vid "svetsning".

## 7. BESKRIVNING AV HUVUDPROGRAM

De beskrivna primitiverna finns på filen threed.pak. Där finns dessutom procedurer för multiplikation av en vektor och en matris (MultiplyVectMat), för multiplikation av två matriser (MultiplyMatMat) och en procedur för initialisering av M,V,P och S-matrismaterna (InitThreeDim). Dessutom finns en del skalfaktorer.

I filen robot.pak finns ett huvudprogram som använder procedurererna i threed.pak. Om vi tittar närmare på detta huvudprogram (appendix i sid 24) så anger vi först genom anropet TwoPlanes att två plan skall användas vid uppritning av bilden. DrawBackground säger att uppritningen skall ske i ett bakre plan, osynligt för betraktaren. Genom SwapPlane byter man sedan plats på bakre och främre planet. Genom CmxErase nollställs alla pixel i det plan man skriver i. Ändringen i synfält kan ske genom anrop till Pan3, Tilt3, Roll3 och Zoom3. Denna interaktion sker via terminal. Det finns även direkta kommando för att röra sig horisontellt och vertikalt samt för att rotera kring z-axeln.

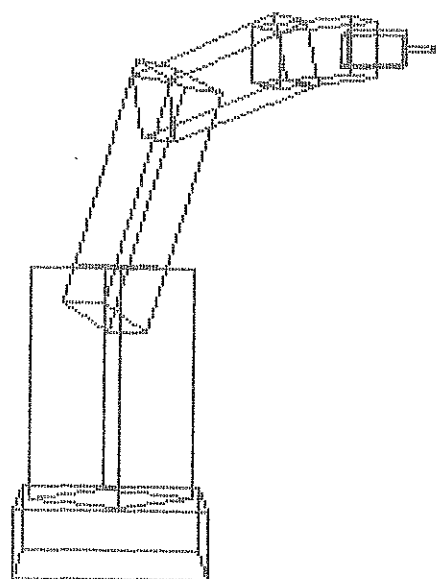
Roboten styrs m.h.a. styrspakar med fyra frihetsgrader. Man arbetar i två modus, en där spetsens x-, y- resp. z-koordinat ändras och en där spetsens orientering ändras. De globala variablene  $p_x, p_y, p_z$  resp.  $n_x, n_y, n_z$  ändras

m.h.a. styrspakarna varpå NewAngles anropas. Om den önskade punkten ej kan nås måste  $p_x, p_y, p_z$  resp.  $n_x, n_y, n_z$

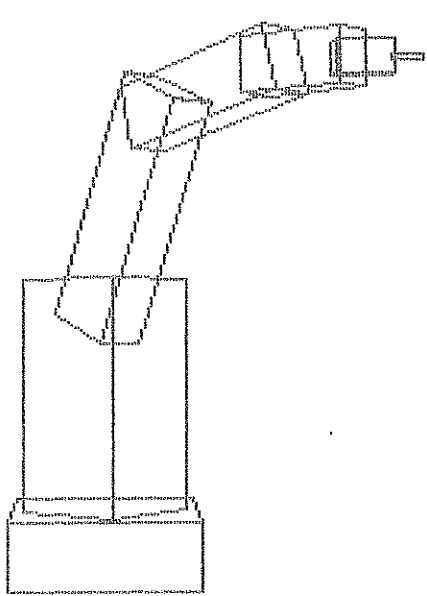
återställas till det värde de hade innan senaste kommandot. Vinklarna theta får de värde de hade innan kommandot. Detta för att undvika att roboten fastnar p.g.a. att den försöker nå en punkt som är omöjlig att nå. Denna återställning sker i NewAngles.

Vidare finns kommando för backfaceremoval och hiddensurface. Hur dessa inverkar på den slutliga bilden framgår av fig 13 b och c. Jämför med fig 13 a, där inga dolda linjer alls har tagits bort.

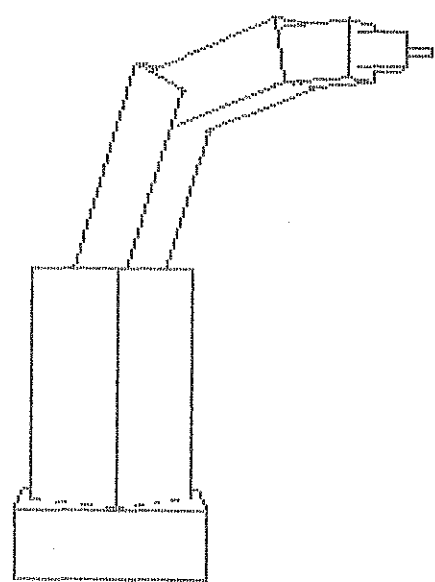
Slutligen finns kommando för att tona figuren (shading), samt för att bestämma inre färg och kantfärg för figuren.



a)



b)



c)

Fig. 13

## 8. SAMMANFATTNING

Ett generellt tredimensionellt paket har utvecklats.

Det utför:

- perspektivtransformationer
- hidden surface-beräkningar
- shading
- ändring av betraktelsepunkten

Animering av en industrirobot har gjorts. Robotens rörelse beskrives i ett kartesiskt koordinatsystem och ledernas vinklar beräknas.

## 9. REFERENSER

- Newman W., Sproull R.:  
Principles of Interactive Computer Graphics  
2:a uppl., McGraw-Hill, 1979  
särskilt kapitlen 20, 22-24
- Paul R.:  
Robot Manipulators: Mathematics, Programming, and Control  
The MIT Press  
Kapitlen 1-3  
Observera att i denna bok skall alla matriser transponeras för att få samma beskrivning som i Newman&Sproull. Dessutom är alla rotationer definierade åt motsatt håll.
- Ekman T., Karlsson J.:  
Pascal för dig som kan programmera.  
Studentlitteratur, 1981
- Sparr G.:  
Linjär algebra I  
Sigma-Tryck, TLTH Lund, 1978

## Appendix i

{threed.pak}

Author:Mikael Rignell  
 Date:1982-09-04

Reference:Newman W., Sproull R.:  
 Principles of Interactive Computer Graphics  
 Second Edition, McGraw-Hill, 1979  
 chapters 20,22-24}

.FORWARD

{These are the primitives used to make three-dimensional images, to perform the hidden-surface algorithm and to move the viewingpoint.)

```
procedure LineTo3(xm,ym,zm:real);forward;
procedure MoveTo3(xm,ym,zm:real);forward;

procedure StartPolygon(xm,ym,zm:real);forward;
procedure NextVertex(xm,ym,zm:real);forward;
procedure LastVertex(xm,ym,zm:real);forward;

procedure Translate3(Tx,Ty,Tz:real);forward;
procedure Rotate3x(fi:real);forward;
procedure Rotate3y(fi:real);forward;
procedure Rotate3z(fi:real);forward;

procedure Pan3(theta:real);forward;
procedure Tilt3(fi:real);forward;
procedure Zoom3(Dchange:real);forward;
procedure Roll3(Zchange:real);forward;

procedure NewViewport3(vxl,vxr,vyb,vyt:real);forward;
```

```
procedure FrameColor(colno:integer);forward;
procedure InternalColor(colno:integer);forward;
procedure Reset3;forward;
procedure Shade(shadeon:boolean);forward;
procedure BackFaceRemoval(bfrem:boolean);forward;
```

.TYPE

```
matrix=array[1..4,1..4]of real;
pointer^point;
point=record
  x,y,z:real;
  pre,suc:pointer;
end;
```

.VAR

```
K,M,V,P,S,ZERO,UNIT:matrix;
```

```

{M is the transformationmatrix from the model coordinate
system to the world coordinate system. V transforms from the
world coordinate system to the eye coordinate system. P
transforms from the eye c.s. to the homogeneous c.s.. S
chooses the viewport. K=M*V*P.}
xh,yh,zh,wh, xhi,yhi,zhi,whi, xsi,ysi,zsi, xs2,ys2,zs2:real;
xs2pre,ys2pre,zs2pre:real;
orderno:integer;
firstvertexlist,vertexlist:pointer;
depth:array[0..511,0..511] of real;
SP,DP,FP:real;
framecol,internalcol:integer;
shading:boolean;
shadeconst: real;
backfacerem:boolean;
xpixelscale3, ypixelscale3, xpixeloffset3, ypixeloffset3:real;

.PROCEDURE
procedure MultiplyVectMat(xi,yi,zi,wi:real;var Mx:matrix;
                           var xo,yo,zo,wo:real);
begin
  xo:=xi*Mx[1,1]+yi*Mx[2,1]+zi*Mx[3,1]+wi*Mx[4,1];
  yo:=xi*Mx[1,2]+yi*Mx[2,2]+zi*Mx[3,2]+wi*Mx[4,2];
  zo:=xi*Mx[1,3]+yi*Mx[2,3]+zi*Mx[3,3]+wi*Mx[4,3];
  wo:=xi*Mx[1,4]+yi*Mx[2,4]+zi*Mx[3,4]+wi*Mx[4,4];
end;

procedure MultiplyMatMat(A,B:matrix;var C:matrix);
var i,j:integer;
begin
  for i:=1 to 4 do
    for j:=1 to 4 do
      C[i,j]:=A[i,1]*B[1,j]+A[i,2]*B[2,j]+A[i,3]*B[3,j]
              +A[i,4]*B[4,j];
end;

procedure MultMVP;
begin
  MultiplyMatMat(M,V,K);
  MultiplyMatMat(K,P,K);
end;

procedure Clip3(var xi,yi,zi,wi,x2,y2,z2,w2:real;
                var outsideclipbox:boolean);
{From Newman&Sproull p. 360.}
type edge=1..6;
  outcode=set of edge;
var wc:array[1..2,1..6] of real;
  c1,c2,outcode;
  dx,dy,dz,dw,t,t1,t2:real;
  i:integer;
procedure MakeWindowCoords(p:integer;i,x,y,z,w:real;
                           var c:outcode);
  var i:integer;
begin

```

```

wc[p,1]:=w+x;
wc[p,2]:=w-x;
wc[p,3]:=w+y;
wc[p,4]:=w-y;
wc[p,5]:=z;
wc[p,6]:=w-z;
ct:=[];
for i:=1 to 6 do
  if wc[p,i]<0 then ct:=ct+i;
end;
begin
  MakeWindowCoords(1,x1,y1,z1,w1,c1);
  MakeWindowCoords(2,x2,y2,z2,w2,c2);
  if (c1*c2)=[] then
    begin
      outsideclipbox:=false;
      t1:=0;
      t2:=1;
      for i:=1 to 6 do
        if (wc[1,i]<0) or (wc[2,i]<0) then
          begin
            writeln('clipping has occurred');
            t:=wc[1,i]/(wc[1,i]-wc[2,i]);
            if wc[1,i]<0 then
              begin
                if t>t1 then t1:=t;
              end
            else
              begin
                if t<t2 then t2:=t;
              end;
            end;
        if t2=t1 then
          begin
            dx:=x2-x1;
            dy:=y2-y1;
            dz:=z2-z1;
            dw:=w2-w1;
            if t2<>1 then
              begin
                x2:=x1+t2*dx;
                y2:=y1+t2*dy;
                z2:=z1+t2*dz;
                w2:=w1+t2*dw;
              end;
            if t1<>0 then
              begin
                x1:=x1+t1*dx;
                y1:=y1+t1*dy;
                z1:=z1+t1*dz;
                w1:=w1+t1*dw;
              end;
          end;
    end;
  else outsideclipbox:=true;
end;

```

```

(The line is completely outside the viewingbox.)}
end;

procedure Transform3(xm,ym,zm:real;var xs1,ys1,zs1,
                     xs2,ys2,zs2:real); var notwrite:boolean);
{The image is from the beginning described in the model
coordinate-system. Via the eye coordinate-system, the
homogenous coordinate-system and clipping its final
description is in the screen coordinate-system. This
procedure performs the transformation.}
var xh,yh,zh,wh,xh2,yh2,zh2,wh2,x1,y1,z1,w1,x2,y2,z2,w2:real;
begin
  MultiplyVectMat(xm,ym,zm,1,K,xh,yh,zh,wh);
  xh2:=xh;
  yh2:=yh;
  zh2:=zh;
  wh2:=wh;
  Clip3(xh1,yh1,zh1,wh1,xh,yh,zh,wh,notwrite);
  MultiplyVectMat(xh1,yh1,zh1,wh1,S,x1,y1,z1,w1);
  MultiplyVectMat(xh,yh,zh,wh,S,x2,y2,z2,w2);
  xh1:=xh2;
  yh1:=yh2;
  zh1:=zh2;
  wh1:=wh2;
  xs1:=x1/w1;
  ys1:=y1/w1;
  zs1:=z1/w1;
  xs2:=x2/w2;
  ys2:=y2/w2;
  zs2:=z2/w2;
end;

procedure BackFace;
var i:integer;
    helpp:pointer;
begin
  for i:=1 to orderno do
  begin
    helpp:=vertexlist;
    vertexlist:=vertexlist^.suc;
    PixelLine(round(helpp^.x),round(helpp^.y),
              round(vertexlist^.x),round(vertexlist^.y));
  end;
end;

procedure HiddenSurface;
{This procedure performs the depth-buffer algorithm
described in Newman&Sproull, p. 369. Lines and surfaces not
visible to the viewer are excluded. The procedure assumes
that the model consists of convex polygons. The verticies of
one polygon is inserted into a circular two way list, by the
procedures NextVertex and LastVertex. (The list is
initialized by the procedure StartPolygon.) Lastvertex calls
the hiddensurface procedure.}
label 10;

```

```

const maxintens = 15;
      shadeconst = 175;
var P,Q,R:pointer;
  PQ,QR:array[1..3] of real;
  A,B,C,D:real;
  left,up,down,helppointer:pointer;
  helporder,i,k,xhelpputrunc,yhelpputrunc,xhelpdowntrunc,
  Nextxtrunc,yhelpdowntrunc,xt,yt:integer;
  xmin,xhelppup,yhelppup,xhelpdown,yhelpdown,Nextx,Nexty,
  UpNumerator,UpDenominator,DeltaXUp,DeltaYUp,
  DownNumerator,DownDenominator,DeltaXDown,DeltaYDown,z,
  DeltaXMiddle,DeltaYMiddle:real;
  DeltaUpChange,DeltaDownChange,UpNext,nextupsuc:boolean;
  intens: real;
  colorno,incolorno:integer;
  yhelpinternal:real;
  xhelpinternal:real;
  xscanup,yscanup,xscandown,yscandown:real;
  verticalline:boolean;
begin
  verticalline:=false;
  vertexlist:=firstvertexlist;
  helporder:=orderno-3;
  {orderno is the number of verticies.}
  if orderno < 3 then goto 10;
  {The equation of the polygon-plane in the form
  a*x+b*y+c*z+d=0, must be calculated. To do this you need
  one point in the plane (P), and two non-parallel vectors
  in the plane (PQ and QR).}
  P:=firstvertexlist;
  Q:=P^.succ;
  R:=Q^.succ;
  PQ[1]:=P^.x-Q^.x;
  PQ[2]:=P^.y-Q^.y;
  PQ[3]:=P^.z-Q^.z;
  QR[1]:=Q^.x-R^.x;
  QR[2]:=Q^.y-R^.y;
  QR[3]:=Q^.z-R^.z;
  C:=PQ[2]*QR[1]-PQ[1]*QR[2];
  if C < 0 then goto 10;
  {if C < 0 it means that the normal to the surface has a
  negative z-coordinate and this surface could not be seen
  finally. Due to the hardware, the positive z-direction is
  out from the screen. This is corrected when calling
  CmDot.}
  if backfacerem then
  begin
    BackFace;
    goto 10;
  end;
  A:=PQ[3]*QR[2]-PQ[2]*QR[3];
  B:=PQ[1]*QR[3]-PQ[3]*QR[1];
  D:=-(A*P^.x+B*P^.y+C*P^.z);
  if (abs(A)<1.0E-6) and (abs(B)<1.0E-6)
      and (abs(C)<1.0E-6) then

```

```

begin
  writeln('The first three verticies are
          on the same line.');

  Goto 10;
end;
for i:=i to helporder do
begin
  vertexlist:=vertexlist^.succ;
  with vertexlist^ do
  begin
    if abs(A*x+B*y+C*z+D)>0.01 then
    begin
      writeln('A point doesn''t lie in the plane.');
      Goto 10;
    end;
    end;
  end;

{ shading }
if shading then
begin
  intens := C/shadeconst / sqrt(A*A+B*B+
                                C/shadeconst*C/shadeconst);
  colorno := round(intens*maxintens);
  incolorno := round(intens*maxintens);
end
else
begin
  colorno := framecol;
  incolorno := internalcol;
end;

if abs(C)>1.0E-6 then
{The plane is described in the form
 z=-(a/c)*x-(b/c)*y-d/c.}
begin
  A:=A/C;
  B:=B/C;
  D:=D/C;
end
else
begin
  A:=A*1.0E6;
  B:=B*1.0E6;
  D:=D*1.0E6;
end;
helppointer:=firstvertexlist;
left:=firstvertexlist;
xmin:=1000;
for i:=1 to orderno do
{The point with the smallest x-coordinate should be found.
 If there are more than one, the first one found is chosen.}
begin
  if helppointer^.x<xmin then
  begin

```

```

        xmin:=helppointer^.x;
        left:=helppointer;
    end;
    helppointer:=helppointer^.succ;
end;
if left^.succ^.y>left^.prev^.y then
{Which way to go in the list to be on the upside
respectively on the downside of the polygon, is found out.}
begin
    up:=left^.succ;
    down:=left^.prev;
    nextupsucc:=true;
end
else
begin
    up:=left^.prev;
    down:=left^.succ;
    nextupsucc:=false;
end;
CmiCol(colorno);
DeltaUpChange:=true;
DeltaDownChange:=true;
for k:=1 to orderno-1 do
{Is the next vertex on the upside
or downside of the polygon?}
begin
    if up^.x<down^.x then
begin
    Nextx:=up^.x;
    Nexty:=up^.y;
    UpNext:=true;
end
else
begin
    Nextx:=down^.x;
    Nexty:=down^.y;
    UpNext:=false;
end;
    if DeltaUpChange then
{The slope of the upper edge have changed.}
begin
    xhelpup:=left^.x(+0.5);
    xhelpuptrunc:=trunc(xhelpup);
    yhelpup:=left^.y(+0.5);
    yhelpuptrunc:=trunc(yhelpup);
    xscanup:=xhelpup;
    yscanup:=yhelpup;
    UpNumerator:=up^.y-left^.y;
    UpDenominator:=up^.x-left^.x;
    if abs(UpNumerator)>UpDenominator then
begin
        DeltaxUp:=UpDenominator/abs(UpNumerator);
        DeltayUp:=UpNumerator/abs(UpNumerator);
    end
    else

```

```

begin
    DeltaxUp:=1.0;
    if UpDenominator=0 then DeltayUp:=1 else
        DeltayUp:=UpNumerator/UpDenominator;
end;
DeltaUpChange:=false;
endif;
if DeltaDownChange then
{The slope of the lower edge have changed.}
begin
    xhelpdown:=left^.x{+0.5};
    xhelpdowntrunc:=trunc(xhelpdown);
    yhelpdown:=left^.y{+0.5};
    yhelpdowntrunc:=trunc(yhelpdown);
    xscandown:=xhelpdown;
    yscandown:=yhelpdown;
    DownNumerator:=down^.y-left^.y;
    DownDenominator:=down^.x-left^.x;
    if abs(DownNumerator)>DownDenominator then
begin
    DeltaxDown:=DownDenominator/abs(DownNumerator);
    DeltayDown:=DownNumerator/abs(DownNumerator);
end
else
begin
    DeltaxDown:=1.0;
    if DownDenominator=0 then DeltayDown:=1 else
        DeltayDown:=DownNumerator/DownDenominator;
end;
DeltaDownChange:=false;
end;
Nextxtrunc:=trunc(Nextx);
for xt:=trunc(left^.x) to Nextxtrunc do
{For each x-coordinate on an edge, (each xt), you have
a specific y-coordinate. But since the screen can only
take integer values, one x-value can have more than
one y-value. This happens if the slope of an edge is
more than 45 degrees. Then DeltaxUp or DeltaxDown are
less than one. For each point on the edge, the
z-coordinate is set and if the z-value is smaller than
the one in the depth-matrix, the point is set.}
begin
    if not(verticalline) then
begin
        xscanup:=xhelpup;
        yscanup:=yhelpup;
        xscandown:=xhelpdown;
        yscandown:=yhelpdown;
end;
    while xhelpuptrunc=xt do
{If the slope is less than 45 degrees, these
computations are made only once for each
x-coordinate. If the slope is more than 45 degrees,
they could be performed more than once.}
begin

```

```

z:=-A*xhelpup-B*yhelpup-D;
if z<=depth[xt,yhelpuptrunc] then
begin
  CmiDot(xt,yScreenMax-yhelpuptrunc);
  depth[xt,yhelpuptrunc]:=z;
end;
if yhelpup>yscanup then
begin
  xscanup:=xhelpup;
  yscanup:=yhelpup;
end;
xhelpup:=xhelpup+DeltaxUp;
xhelpuptrunc:=trunc(xhelpup);
yhelpup:=yhelpup+DeltayUp;
yhelpuptrunc:=trunc(yhelpup);
if DeltaxUp<1 then
  if DeltayUp > 0 then
begin
  if yhelpuptrunc > trunc(up^.y) then
    xhelpuptrunc:=xhelpuptrunc+1;
end
else
begin
  if yhelpuptrunc < trunc(up^.y) then
    xhelpuptrunc:=xhelpuptrunc+1;
end;
{If we reach a vertex,
we must stop at the right y-value.}
end;
while xhelpdowntrunc=xt do
{Same as above but with the lower edge.}
begin
z:=-A*xhelpdown-B*yhelpdown-D;
if z<=depth[xt,yhelpdowntrunc] then
begin
  CmiDot(xt,yScreenMax-yhelpdowntrunc);
  depth[xt,yhelpdowntrunc]:=z;
end;
if yhelpdown>yscandown then
begin
  xscandown:=xhelpdown;
  yscandown:=yhelpdown;
end;
xhelpdown:=xhelpdown+DeltaxDown;
xhelpdowntrunc:=trunc(xhelpdown);
yhelpdown:=yhelpdown+DeltayDown;
yhelpdowntrunc:=trunc(yhelpdown);
if DeltaxDown<1 then
  if DeltayDown < 0 then
begin
  if yhelpdowntrunc < trunc(down^.y) then
    xhelpdowntrunc:=xhelpdowntrunc+1;
end
else
begin

```

```

        if yhelpdowntrunc > trunc(down^.y) then
            xhelpdowntrunc:=xhelpdowntrunc+1
        end;
    end;
    if not(trunc(yscanup)=trunc(yscandown)) then
    begin
        DeltaxMiddle:=(xscanup-xscandown)/
                      (trunc(yscanup)-trunc(yscandown));
        DeltayMiddle:=(yscanup-yscandown)/
                      (trunc(yscanup)-trunc(yscandown));
    end;
{ scanconversion }

if xt < Nextxtrunc then
{Don't do scanconversion beyond the next vertex.}
begin
    CmiCol(incolorno);
    xhelpinternal:=xscandown+DeltaxMiddle;
    yhelpinternal:=yscandown+DeltayMiddle;
    for yt:=trunc(yscandown)+1 to trunc(yscanup)-1 do
    begin
        z:=-A*xhelpinternal-B*yhelpinternal-D;
        if z<depth[xt,yt] then
        begin
            CmiDot(xt,yScreenMax-yt);
            depth[xt,yt]:=z;
        end;
        xhelpinternal:=xhelpinternal+DeltaxMiddle;
        yhelpinternal:=yhelpinternal+DeltayMiddle;
    end;
    CmiCol(colorno);
end;
if trunc(left^.x) = Nextxtrunc then
begin
    if (trunc(left^.x) = trunc(left^.prev^.x)) or
       (trunc(left^.x) = trunc(left^.succ^.x))
        then verticalline:=true
        else verticalline:=false;
end
else
begin
    verticalline:=false;
end;
end;
if UpNext then
{The vertex with the next x-coordinate in turn
   is on the upside.}
begin
    left:=up;
    if nextupsuc then up:=up^.succ
                  else up:=up^.prev;
    DeltaUpChange:=true;
end
else

```

```

{Next vertex on the downside.}
begin
  left:=down;
  if nextupsuc then down:=down^.pre;
  down:=down^.succ;
  DeltaDownChange:=true;
end;
z:=-A*Nextx-B*Nexty-D;
if z < depth[Nextxtrunc,trunc(Nexty)] then
{Due to the truncation, you might miss a vertexpoint.}
begin
  CmDot(Nextxtrunc,yScreenMax-trunc(Nexty));
  depth[Nextxtrunc,trunc(Nexty)]:=z;
end;
10:for i:=1 to orderno-1 do
begin
  vertexlist:=vertexlist^.succ;
  dispose(vertexlist^.pre);
end;
dispose(vertexlist);
endi;

procedure insert(e:pointer);
{Inserts a point into the circular two way list.}
begin
  if firstvertexlist=nil then
  begin
    firstvertexlist:=e;
    firstvertexlist^.pre:=firstvertexlist;
    firstvertexlist^.succ:=firstvertexlist;
  end
  else
  begin
    firstvertexlist^.pre^.succ:=e;
    e^.pre:=firstvertexlist^.pre;
    e^.succ:=firstvertexlist;
    firstvertexlist^.pre:=e;
  end;
endi;
procedure LineTo3(xm,ym,zm:real);
{A line is drawn from the point in the last MoveTo3
LineTo3 to the one given here.}
var xsir,ysir,xs2r,ys2r:integer;
  lineoutside:boolean;
begin
  Transform3(xm,ym,zm,xs1,ys1,zs1,xs2,ys2,zs2,lineoutside);
  if not(lineoutside) then
  begin
    xsir:=round(xs1);
    ysir:=round(ys1);
    xs2r:=round(xs2);
    ys2r:=round(ys2);
    PixelLine(xsir,ysir,xs2r,ys2r);
  end;
end;

```

```

      end;
    end;

procedure MoveTo3(xm,ym,zm:real);
{The next line should begin at this point.}
begin
  MultiplyVectMat(xm,ym,zm,1,K,xh,yh,zh,wh);
  xhi:=xhi;
  yhi:=yhi;
  zhi:=zhi;
  whi:=whi;
end;

procedure StartPolygon(xm,ym,zm:real);
{Initiates the list and performs the first steps (those
before the clipping), in the transformation from
model-coordinates to screen-coordinates. The
clipping-algorithm must have both the end-points of a line.}
begin
  new(firstvertexlist);
  firstvertexlist:=nil;
  orderno:=0;
  MultiplyVectMat(xm,ym,zm,1,K,xh,yh,zh,wh);
  xhi:=xhi;
  yhi:=yhi;
  zhi:=zhi;
  whi:=whi;
  xs2pre:=1000;
  ys2pre:=1000;
  zs2pre:=1000;
end;

procedure NextVertex(xm,ym,zm:real);
{Puts one (or sometimes two) point(s) into the list after
transformation. The coordinates are translated and scaled as
to be visible on the screen. The y-coordinates are also
corrected as not to be shown upside down.}
label 7;
var e:pointer;
  noline:boolean;
begin
  Transform3(xm,ym,zm,xs1,ys1,zs1,xs2,ys2,zs2,noline);
  if noline then goto 7;
  if (xs1<>xs2pre) or (ys1<>ys2pre) or (zs1<>zs2pre) then
{If the startingpoint of the new line isn't the same as the
last point in the previous line, the startingpoint is
inserted.}
    begin
      new(e);
      with e^ do
      begin
        x:=xs1;
        y:=ys1;
        z:=zs1;

```

```

    end;
    insert(e);
    orderno:=orderno+1;
  end;
  new(e);
  with e^ do
  begin
    x:=xs2;
    y:=ys2;
    z:=zs2;
  end;
  insert(e);
  orderno:=orderno+1;
  xs2pre:=xs2;
  ys2pre:=ys2;
  zs2pre:=zs2;
  Z:=1;
end;

procedure LastVertex(xm,ym,zm:real);
{Puts the last vertex into the list and calls HiddenSurface.}
begin
  NextVertex(xm,ym,zm);
  HiddenSurface;
end;

procedure Translate3(Tx,Ty,Tz:real);
{Translates the model coordinate-system.}
var T:matrix;
  i,j:integer;
begin
  T:=UNIT;
  T[4,1]:=Tx;
  T[4,2]:=Ty;
  T[4,3]:=Tz;
  MultiplyMatMat(T,M,M);
  MultMVP;
end;

procedure Rotate3x(f1:real);
{The model coordinate-system is rotated around the x-axis.}
var T:matrix;
  i,j:integer;
  cosf1,sinf1:real;
begin
  f1:=3.141592654*f1/180;
  cosf1:=cos(f1);
  sinf1:=sin(f1);
  T:=ZERO;
  T[1,1]:=1;
  T[2,2]:=cosf1;
  T[2,3]:=-sinf1;
  T[3,2]:=sinf1;
  T[3,3]:=cosf1;
  T[4,4]:=1;

```

```

procedure MultiplyMatMat (T,M,M0);
  MultMVP;
begin

procedure Rotate3y{fi:real};
{Rotation of the model coordinatesystem around the y-axis.}
var T:matrix;
  i,j:integer;
  cosfi,sinfi:real;
begin
  fi:=3.141592654*fi/180;
  cosfi:=cos(fi);
  sinfi:=sin(fi);
  T:=ZERO;
  T[1,1]:=cosfi;
  T[1,3]:=-sinfi;
  T[2,2]:=1;
  T[3,1]:=sinfi;
  T[3,3]:=cosfi;
  T[4,4]:=1;
  MultiplyMatMat (T,M,M0);
  MultMVP;
end;

procedure Rotate3z{fi:real};
{Rotates the model coordinate-system around the z-axis.}
var T:matrix;
  i,j:integer;
  cosfi,sinfi:real;
begin
  fi:=3.141592654*fi/180;
  cosfi:=cos(fi);
  sinfi:=sin(fi);
  T:=ZERO;
  T[1,1]:=cosfi;
  T[1,2]:=-sinfi;
  T[2,1]:=sinfi;
  T[2,2]:=cosfi;
  T[3,3]:=1;
  T[4,4]:=1;
  MultiplyMatMat (T,M,M0);
  MultMVP;
end;

procedure SetViewBox(SP,DP,FP:real);
begin
  P[3,3]:=SP/(DP*(1-SP/FP));
  P[3,4]:=SP/DP;
  P[4,3]:=-SP/(1-SP/FP);
  MultMVP;
end;

procedure Pan3(theta:real);
{The viewer rotates around his vertical axis.}
var thetarad,Csin,Ccos:real; H:matrix;

```

```

begin
  thetarad:=3.141592654*theta/180;
  Csint:=sin(thetarad);
  Ccos:=cos(thetarad);
  H:=UNIT;
  H[1,1]:=Ccos;
  H[1,3]:=Csint;
  H[3,1]:=-Csint;
  H[3,3]:=Ccos;
  MultiplyMatMat(V,H,V);
  MultMVP;
end;

procedure Tilt3(firad:real);
{The viewer rotates around the axis parallel
   to the horizon.}
var firad,Ksin,Kcos:real; i:integer; H:matrix;
begin
  firad:=-3.141592654*firad/180;
  Ksin:=sin(firad);
  Kcos:=cos(firad);
  H:=UNIT;
  H[2,2]:=Kcos;
  H[2,3]:=-Ksin;
  H[3,2]:=Ksin;
  H[3,3]:=Kcos;
  MultiplyMatMat(V,H,V);
  MultMVP;
end;

procedure Roll3(Zchange:real);
{The viewer moves forwards or backwards.}
var H:matrix;
begin
  H:=UNIT;
  H[4,3]:=-Zchange;
  MultiplyMatMat(V,H,V);
  MultMVP;
end;

procedure Zoom3(Dchange:real);
begin
  DP:=DP+Dchange;
  SetViewBox(SP,DP,FP);
end;

procedure NewViewPort3(vxr,vxr,vyb,vyt:real);
begin
  S[1,1]:=(vxr-vx1)/2*xpixelscale3;
  S[2,2]:=(vyt-vyb)/2*ypixelscale3;
  S[4,1]:=(vx1+vxr)/2+xpixeloffset3;
  S[4,2]:=(vyb+vyt)/2+ypixeloffset3;
end;

procedure FrameColor(colno:integer);

```

```

begin
  framecol:=colno;
end;

procedure InternalColor(colno:integer);
begin
  internalcol:=colno;
end;

procedure Shade(shadeon: boolean);
begin
  shading := shadeon;
  if shadeon then BlueShade
    else TwoPlanes;
end;

procedure BackFaceRemoval(bfrem:boolean);
begin
  backfacerem:=bfrem;
end;

procedure Reset3;
begin
  M:=UNIT;
  MultMVP;
end;

procedure Setdepth;
var i,j:integer;
begin
  for i:=0 to 511 do depth[0,i]:=10;
  for i:=1 to 511 do depth[i]:=depth[0];
end;

procedure DefineScreen3;
const
  CmiXsize = 511; CmiYsize = 511;
  screenwidth = 200; screenheight = 200;

begin
  xpixelscale3 := (CmiXsize + 1) / ScreenWidth;
  ypixelscale3 := (CmiYSize + 1) / ScreenHeight;

  xpixeloffset3 := CmiXSize / 2;
  ypixeloffset3 := CmiYSize / 2;
end;

procedure InitThreeDim;
var i,j:integer;
begin
  for i:=1 to 4 do
    for j:=1 to 4 do
      begin
        ZERO[i,j]:=0;
      end;
end;

```

```
UNIT:=ZERO;
for i:=1 to 4 do UNIT[i,i]:=1;
M:=UNIT;
V:=ZERO;
P:=ZERO;
S:=ZERO;
SP:=75;
DP:=300;
FP:=800;
V[1,1]:=1;
V[2,3]:=1;
V[3,2]:=1;
V[4,4]:=1;
Roll(-400);
P[1,1]:=1;
P[2,2]:=1;
SetViewBox(SP,DP,FP);
DefineScreen3;
SL3,3]:=1;
SL4,4]:=1;
NewViewPort3(-75,75,-75,75);
MultiMVP;
shading:=false;
backfacerem:=false;
internalcol:=0;
framecol:=1;
CmEraser;
end;

.INIT
InitThreeDim;

.END
```

```

{robot.pak describes an industrial robot and
its movement in a cartesian coordinate system}

{Author: Mikael Rignell
Date: 1982-09-04}

{Reference:
Paul R.:
Robot Manipulators: Mathematics, Programming and Control
The MIT Press}

.PROGRAM

program Robot(input,output,outfile);

.CONST
pi=3.141592654;

.VAR
outfile:text;
ch:char;
number,newnumber,Znewnumber:real;
i,j,forhelp,cho:integer;
vxl,vxr,vyb,vyt:real;
joystickvalues:joysticktype;
px,py,pz,nx,ny,nz:real;
pxold,pyold,pzold, nxold,nyold,nzold:real;
a1,a2,a3,a4,a5,z0:real;
theta1,theta2,theta3,theta4,theta5,theta6:real;
model,notjumpout,notmoving:boolean;
shad:boolean;
bafare:boolean;

.PROCEDURE

function arctan2(y,x:real):real;
var fi:real;
begin
  if x=0 then
    begin
      if y>0 then fi:=pi/2
      else fi:=-pi/2;
    end
    else
    begin
      fi:=arctan(y/x);
      if (x<0) and (y>0) then fi:=fi+pi;
      if (x<0) and (y<0) then fi:=fi-pi;
    end;
  arctan2:=fi;
end;

```

```

procedure box(x2,y2,z2:real);
begin
  MoveTo3(0,0,0);
  LineTo3(0,0,z2);
  LineTo3(x2,0,z2);
  LineTo3(x2,0,0);
  LineTo3(0,0,0);
  LineTo3(0,y2,0);
  LineTo3(0,y2,z2);
  LineTo3(x2,y2,z2);
  LineTo3(x2,y2,0);
  LineTo3(0,y2,0);
  MoveTo3(0,y2,z2);
  LineTo3(0,0,z2);
  MoveTo3(x2,0,z2);
  LineTo3(x2,y2,z2);
  MoveTo3(x2,y2,0);
  LineTo3(x2,0,0);
end;

procedure Rectanglex(xb1,yb1,zb1,yb3,zb3:real);
begin
  StartPolygon(xb1,yb1,zb1);
  NextVertex(xb1,yb3,zb1);
  NextVertex(xb1,yb3,zb3);
  LastVertex(xb1,yb1,zb3);
end;

procedure Rectangley(xb1,yb1,zb1,xb3,zb3:real);
begin
  StartPolygon(xb1,yb1,zb1);
  NextVertex(xb1,yb1,zb3);
  NextVertex(xb3,yb1,zb3);
  LastVertex(xb3,yb1,zb1);
end;

procedure Rectanglez(xb1,yb1,zb1,xb3,yb3:real);
begin
  StartPolygon(xb1,yb1,zb1);
  NextVertex(xb3,yb1,zb1);
  NextVertex(xb3,yb3,zb1);
  LastVertex(xb1,yb3,zb1);
end;

procedure Block(length,width,height:real);
begin
  if (notmoving or bafare) then
  begin
    Rectanglex(0,0,0,width,height);
    Rectanglex(length,width,0,0,height);
    Rectangley(0,0,0,length,height);
    Rectangley(0,width,height,length,0);
    Rectanglez(0,0,0,length,width);
    Rectanglez(length,0,height,0,width);
  end
end;

```

```

else
begin
    box(length,width,height);
end;
endif;

procedure NewAngles(var outsidereach:boolean);  

tused when moving the robot with 6 degrees of freedom
Inparameters : px py pz (position)
                nx ny nz (direction)
Outparameters : theta1,theta2,theta3,theta4,theta5
label 5,6;
var pxp,pxp,pxpp,pxpp, pxh,pyh,pzh,nxh,nyh,nzh:real;
    norm:real;
    alfa1,alfa2,alfa3,alfa4,alfa5,alfa234,alfa23:real;
    C1,S1,C2,S2,C23,S23,C234,S234,C3,S3,S4,C4,C5,S5:real;
begin
    outsidereach:=false;
    norm:=sqrt(sqr(nx)+sqr(ny)+sqr(nz));
    nx:=nx/norm;
    ny:=ny/norm;
    nz:=nz/norm;

    alfa1:=arctan2((a5*ny-py),(px-a5*nx));
    S1:=sin(alfa1);
    C1:=cos(alfa1);
    {alfa1 is the robot's rotation around the foundation.
     -pi<= alfa1 <=+pi }

    S5:=-(S1*px+C1*py)/a5;
    if abs(S5) > 1 then goto 5;
    C5:=sqrt(1-sqr(S5));
    alfa5:=arctan2(S5,C5);
    {alfa5 is the angle between the two outer arms. (Rotation
     around an z-axis). -pi/2 <= alfa5 <= +pi/2 }

    alfa234:=arctan2(nz,C1*nx-S1*ny);
    C234:=cos(alfa234);
    S234:=sin(alfa234);
    {alfa234=alfa2+alfa3+alfa4. -pi <= alfa234 <= +pi }

    pxp:=C1*px-S1*py-(C5*a5+a4)*C234;
    pzp:=pz-z0-(C5*a5+a4)*S234-a1;
    S3:=(sqr(pxp)+sqr(pzp)-sqr(a3)-sqr(a2))/(2*a2*a3);
    if abs(S3) > 1 then goto 5;
    C3:=sqrt(1-sqr(S3));
    alfa3:=arctan2(S3,C3);
    if alfa3 < -3*pi/8 then goto 5;
    {alfa3 is the angle between the biggest parts of the arm.
     If S3>1 it means that the point cannot be reached, at
     least not with the desired direction. -3*pi/8 <= alfa3 <=
     +pi/2 . The lower limit because the outer parts of the
     arm shouldn't fold into the first part.}

    pxpp:=C234*(C1*px-S1*py)+S234*(pz-z0-a1)-C5*a5-a4;

```

```

pzpp:=-S234*(C1*px-S1*py)+C234*(pz-z0-a1);
alfa4:=arctan2(pxpp*a2*C3-pzpp*(a2*S3+a3),
                pzpp*a2*C3+pxpp*(a2*S3+a3));
if abs(alfa4) > 9*pi/10 then goto 5;
{alfa4 is the angle between the second
 and the third part of the arm.
 -9*pi/10 <= alfa4 <= +9*pi/10 }

alfa2:=alfa234-alfa4-alfa3;
if alfa2<-pi/2 then alfa2:=alfa2+pi;
if alfa2>pi/2 then alfa2:=alfa2-pi;
S2:=sin(alfa2);
C2:=cos(alfa2);
{alfa2 is the angle between the body
 and the first part of the arm.
 -pi/2 <= alfa2 <= +pi/2 }

C23:=cos(alfa2+alfa3);
S23:=sin(alfa2+alfa3);
{Calculate the exact expressions for the coordinates
 and the directions.}
pxh:=C5*a5*C234*C1+a4*C234*C1+a3*C23*C1-a5*S5*S1-a2*S2*C1;
pyh:=-C5*a5*C234*S1-a4*C234*S1-a3*C23*S1-a5*S5*C1+a2*S2*S1;
pzh:=C5*a5*S234+a4*S234+a3*S23+a2*C2+a1+z0;
nxh:=C5*C234*C1-S5*S1;
nyh:=-C5*C234*S1-S5*C1;
nzh:=C5*S234;

if (abs(px-pxh) > 0.1) or (abs(py-pyh) > 0.1) or
   (abs(pz-pzh) > 0.1) or (abs(nx-nxh) > 0.05) or
   (abs(ny-nyh) > 0.05) or (abs(nz-nzh) > 0.05)
   then goto 5;

theta1:=180*alfa1/pi;
theta2:=180*alfa2/pi;
theta3:=180*alfa3/pi;
theta4:=180*alfa4/pi;
theta5:=180*alfa5/pi;
goto 6;
5:outsidereach:=true;
{If we reach point 5 it means that the desired point
 cannot be reached. Then we must give back px,py,pz or
 nx,ny,nz values corresponding to a point that can be
 reached, as not to be trapped.}

6:  ;
end;

procedure InitPos;
begin
  nx:=1;
  ny:=0;
  nz:=0;
  px:=64;
  py:=0;

```

```

pz:=40;
z0:=-40;
a1:=40;
a2:=40;
a3:=30;
a4:=18;
a5:=16;
theta1:=0;
theta2:=0;
theta3:=0;
theta4:=0;
theta5:=0;
theta6:=0;
end;

procedure Robot6(f1,f2,f3,f4,f5,f6:real);
begin
  Reset3;
  Translate3(-21,-21,z0-13);
  Block(42,42,13); {foundation}

  Translate3(21,21,13);
  Rotate3z(f1);
  Translate3(-13,-13,0);
  Block(26,26,a1+5); {body}

  Translate3(13,13,a1);
  Rotate3y(f2);
  Translate3(-7,-7,-5);
  Block(14,14,a2+10); {first arm}

  Translate3(7,7,a2+5);
  Rotate3y(f3);
  Translate3(-5,-6,-6);
  Block(a3+9,12,12); {second arm}

  Translate3(a3+5,6,6);
  Rotate3y(f4);
  Translate3(-4,-5,-5);
  Block(a4+6,10,10); {third arm}

  Translate3(a4+4,5,5);
  Rotate3z(f5);
  Translate3(-2,-3,-3);
  Block(a5-4,6,6); {fourth arm}
  Translate3(a5-4,3,3);
  Rotate3x(f6);
  Translate3(0,-0.5,-0.5);
  Block(6,1,1); {tip}
  Translate3(6,0.5,0.5);
end;

procedure MoveRobot(cx,cy,cz,dx,dy,dz:real);
{All motion of the robot must be done
 through this procedure.}

```

```

var oldtheta1,oldtheta2,oldtheta3,oldtheta4,
    oldtheta5,oldtheta6:real;
    outsidereachmr:boolean;
begin
    outsidereachmr:=false;
    oldtheta1:=theta1;
    oldtheta2:=theta2;
    oldtheta3:=theta3;
    oldtheta4:=theta4;
    oldtheta5:=theta5;
    px:=cx;
    py:=cy;
    pz:=cz;
    nx:=dx;
    ny:=dy;
    nz:=dz;
    NewAngles(outsidereachmr);
    if outsidereachmr then
    begin
        theta1:=oldtheta1;
        theta2:=oldtheta2;
        theta3:=oldtheta3;
        theta4:=oldtheta4;
        theta5:=oldtheta5;
        px:=pxold;
        py:=pyold;
        pz:=pzold;
        nx:=nxold;
        ny:=nyold;
        nz:=nzold;
    end;
    CmiErase;
    Robot6(theta1,theta2,theta3,theta4,theta5,theta6);
    SwapPlane;
end;

procedure Weld;
var deltax,deltay:array[1..4] of real;
    i,j:integer;
    cx,cy,cz1,cz2,dx,dy,dz:real;
begin
    deltax[1]:=0;
    deltax[2]:=-4;
    deltax[3]:=0;
    deltax[4]:=4;
    deltay[1]:=4;
    deltay[2]:=0;
    deltay[3]:=-4;
    deltay[4]:=0;
    cx:=40;
    cy:=-40;
    cz1:=-40;
    cz2:=-53;
    dx:=0.00;
    dy:=0.00;

```

```

dz:=-1;
for i:=1 to 4 do
begin
  for j:=i to 20 do
  begin
    cx:=cx+deltax[i];
    cy:=cy+deltay[i];
    MoveRobot(cx,cy,cz1,dx,dy,dz);
    MoveRobot(cx,cy,cz2,dx,dy,dz);
    MoveRobot(cx,cy,cz1,dx,dy,dz);
  end;
end;
MoveRobot(64,0,40,1,0,0);
end;

.MAIN
begin
  TwoPlanes();
  InitPos();
  for help:=10;
  bafare:=false;
  shad:=false;
  notjumppout:=false;
  notmoving:=false;
  model:=true;
  CmiCol(1);
  DrawBackground();
  MoveRobot(px,py,pz,nx,ny,nz);
  while true do
  begin
    write('>');
    read(ch);
    if ch='1' then
    begin
      writeln('All commands are in the form "',
              'small character, real number"');
      writeln('a : hardcopy');
      writeln('b : backfaceremoval');
      writeln('c : changed mode, the joysticks ',
              'changes the orientation');
      writeln('instead of the movement ',
              'in the cartesian coordinate');
      writeln('system or vice versa');
      writeln('f : perform the hidden-surface ',
              'algorithm');
      writeln('h : the viewer moves horizontally');
      writeln('i : change the colour of the model');
      writeln('j : change the colour of the edges ',
              'of the model');
      writeln('k : number of snapshots');
      writeln('l : gives the list of commands');
      writeln('m : the robot is controlled ',
              'by the joysticks');
      writeln('o : the viewer rotates around the axis ',
              'pointed at the ');
    end;
  end;
end;

```

```

writeln('model, number=degrees');
writeln('p : panning motion of the viewer, ',
      'number=degrees');
writeln('r : the viewer rolls ',
      '(moves backwards or forwards)');
writeln('s : shading');
writeln('t : the viewer tilts, number=degrees');
writeln('v : the viewer moves vertically');
writeln('w : a point-welding program is called');
writeln('z : the viewer zooms');

end
else
if ch='a' then
begin
  DrawForeground;
  PrintExactScreen;
  DrawBackground;
end
else
if ch='f' then
begin
  bafare:=false;
  BackFaceRemoval(bafare);
  notmoving:=true;
  Setdepth;
  CmiErase;
  Robot6(theta1,theta2,theta3,theta4,theta5,theta6);
  SwapPlane;
  notmoving:=false;
end
else
if ch='s' then
begin
  shad:=not(shad);
  Shade(shad);
end
else
if ch='b' then
begin
  bafare:=not(bafare);
  BackFaceRemoval(bafare);
end
else
if ch='m' then
begin
  notjumpout:=true;
  while notjumpout do
  begin
    pxold:=px;
    pyold:=py;
    pzold:=pz;
    nxold:=nx;
    nyold:=ny;
    nzold:=nz;
    JoySticks(joystickvalues);

```

```

With joystickvalues do
begin
    if def[0] then
    begin
        if model then px:=px+values[0]/3000
                    else nx:=nx+values[0]/10000;
    end;
    if def[1] then
    begin
        if model then py:=py+values[1]/3000
                    else ny:=ny+values[1]/10000;
    end;
    if def[2] then
    begin
        if model then pz:=pz+values[2]/3000
                    else nz:=nz+values[2]/10000;
    end;
    if def[3] then theta6:=theta6+
                    values[3]/3000;
    if def[17] then if values[17]=1 then
                    notjumpout:=false;
    if def[18] then if values[18]=1 then
                    notjumpout:=false;
    if def[19] then if values[19]=1 then
                    notjumpout:=false;
    if def[20] then if values[20]=1 then
                    notjumpout:=false;
    end;
    MoveRobot(px,py,pz,nx,ny,nz);
end;
else
if ch='e' then
begin
    model:=not model;
end
else
if ch='w' then
begin
    Weld;
end
else
begin
    read(number);
    if ch='i' then
    begin
        cno:=trunc(number);
        InternalColor(cno);
    end
    else
        if ch='j' then
    begin
        cno:=trunc(number);
        FrameColor(cno);
    end
end

```

```

else
if ch='k' then
begin
  forhelp:=trunc(number);
end
else
begin
  newnumber:=number/forhelp;
  Znewnumber:=sqr(number);
  for i:=1 to forhelp do
begin
  case ch of
    'p' : Pan3(newnumber);
    't' : Tilt3(newnumber);
    'z' : Zoom3(Znewnumber);
    'r' : Roll3(number);
    'h' : begin
            Pan3(90);
            Roll3(number);
            Pan3(-90);
          end;
    'v' : begin
            Tilt3(90);
            Roll3(number);
            Tilt3(-90);
          end;
    'o' : begin
            Tilt3(90);
            Pan3(newnumber);
            Tilt3(-90);
          end;
    end;
  Clearscreen;
  Robot6(theta1,theta2,theta3,
          theta4,theta5,theta6);
  SwapPlane;
end;
end;
end;
readln;
end;
end;
END

```

## Appendix 2

Ur M-matrissen för robotarmens spets får man spetsens läge och orientering. I procedure Robot6 sker följande translationer och rotationer av modellkoordinatsystemet.

Translate3(-21,-21,z 0)	}	Translate3(0,0,z 0)
Translate3(21,21,13)		
Rotate3z( $\varphi_1$ )	}	
Translate3(-13,-13,0)		Translate3(0,0,a1)
Translate3(13,13,a1)	}	
Rotate3y( $\varphi_2$ )		
Translate3(-7,-7,-5)	}	Translate3(0,0,a2)
Translate3(7,7,a2+5)		
Rotate3y( $\varphi_3$ )	}	
Translate3(-5,-6,-6)		Translate3(a3,0,0)
Translate3(a3+5,6,6)	}	
Rotate3y( $\varphi_4$ )		
Translate3(-4,-5,-5)	}	Translate3(a4,0,0)
Translate3(a4+4,5,5)		
Rotate3z( $\varphi_5$ )	}	
Translate3(-2,-3,-3)		Translate3(a5-6,0,0)
Translate3(a5-4,3,3)	}	
Rotate3x( $\varphi_6$ )		
Translate3(0,-0.5,-0.5)	}	Translate3(6,0,0)
Translate3(6,0.5,0.5)		

Anm. De lokala variablerna i Robot6 kallas  $\varphi_1-\varphi_6$  medan de globala kallas  $\theta_1-\theta_6$ .

Beteckningarna  $S_i = \sin\theta_i$ ,  $C_i = \cos\theta_i$ ,  $C_{234} = \cos(\theta_2 + \theta_3 + \theta_4)$  etc. används.

$a_1-a_5$  är avstånd mellan vridningsaxlar enl. fig 11.

$z$  är den första vridningspunktens z-koordinat. I och med

att origo för wcs ligger på den andra axeln, blir  $z = -a_1$ .

I matrisform ger translationerna och rotationerna:

$$M = \begin{bmatrix} 1 & 0 & 0 & 0 \\ 0 & 1 & 0 & 0 \\ 0 & 0 & 1 & 0 \\ 0 & 0 & 0 & 1 \end{bmatrix} \begin{bmatrix} 1 & 0 & 0 & 0 \\ 0 & C_6 & -S_6 & 0 \\ 0 & S_6 & C_6 & 0 \\ 0 & 0 & 0 & 1 \end{bmatrix} \begin{bmatrix} 1 & 0 & 0 & 0 \\ 0 & 1 & 0 & 0 \\ 0 & 0 & 1 & 0 \\ a_5-6 & 0 & 0 & 1 \end{bmatrix}$$

$$\begin{bmatrix} \cos -\sin 0 0 \\ \sin \cos 0 0 \\ 0 0 1 0 \\ 0 0 0 1 \end{bmatrix} \begin{bmatrix} 1 0 0 0 \\ 0 1 0 0 \\ 0 0 1 0 \\ a4 0 0 1 \end{bmatrix} \begin{bmatrix} \cos 0 \sin 0 \\ 0 1 0 0 \\ -\sin 0 \cos 0 \\ 0 0 0 1 \end{bmatrix}$$

$$\begin{bmatrix} 1 0 0 0 \\ 0 1 0 0 \\ 0 0 1 0 \\ a3 0 0 1 \end{bmatrix} \begin{bmatrix} \cos 0 \sin 0 \\ 0 1 0 0 \\ -\sin 0 \cos 0 \\ 0 0 0 1 \end{bmatrix} \begin{bmatrix} 1 0 0 0 \\ 0 1 0 0 \\ 0 0 1 0 \\ 0 0 a2 1 \end{bmatrix}$$

$$\begin{bmatrix} \cos 0 \sin 0 \\ 0 1 0 0 \\ -\sin 0 \cos 0 \\ 0 0 0 1 \end{bmatrix} \begin{bmatrix} 1 0 0 0 \\ 0 1 0 0 \\ 0 0 1 0 \\ 0 0 a1 1 \end{bmatrix} \begin{bmatrix} \cos -\sin 0 0 \\ \sin \cos 0 0 \\ 0 0 1 0 \\ 0 0 0 1 \end{bmatrix}$$

$$\begin{bmatrix} 1 0 0 0 \\ 0 1 0 0 \\ 0 0 1 0 \\ 0 0 z_0 1 \end{bmatrix} =$$

$$= \begin{bmatrix} 1 0 0 0 \\ 0 \cos -\sin 0 0 \\ 0 \sin \cos 0 0 \\ a5 0 0 1 \end{bmatrix} \begin{bmatrix} \cos -\sin 0 0 0 \\ \sin \cos 0 0 0 \\ 0 0 1 0 \\ a4 0 0 1 \end{bmatrix} \begin{bmatrix} \cos 0 \sin 0 \\ 0 1 0 0 \\ -\sin 0 \cos 0 \\ a3 0 0 1 \end{bmatrix}$$

$$\begin{bmatrix} \cos 0 \sin 0 \\ 0 1 0 0 \\ -\sin 0 \cos 0 \\ 0 0 a2 1 \end{bmatrix} \begin{bmatrix} \cos 0 \sin 0 \\ 0 1 0 0 \\ -\sin 0 \cos 0 \\ 0 0 a1 1 \end{bmatrix} \begin{bmatrix} \cos -\sin 0 0 \\ \sin \cos 0 0 \\ 0 0 1 0 \\ 0 0 z_0 1 \end{bmatrix} =$$

$$B = \begin{bmatrix} \cos -\sin 0 0 \\ \cos \sin -\sin \cos 0 \\ \sin \cos \sin \cos 0 \\ a5 \cos + a4 - a5 \sin 0 \end{bmatrix}$$

$$\begin{bmatrix} C4*C3-S4*S3 & 0 & C4*S3+S4*C3 & 0 \\ 0 & 1 & 0 & 0 \\ -S4*C3-C4*S3 & 0 & -S4*S3+C4*C3 & 0 \\ a3*C3 & 0 & a3*S3+a2 & 1 \end{bmatrix}$$

$$\begin{bmatrix} C2*C1 & -C2*S1 & S2 & 0 \\ S1 & C1 & 0 & 0 \\ -S2*C1 & S2*S1 & C2 & 0 \\ 0 & 0 & a1+z & 1 \end{bmatrix} = \begin{bmatrix} \text{Trigonometriska} \\ \text{regler ger:} \\ C4*C3-S4*S3=C34 \\ C4*S3+S4*C3=S34 \end{bmatrix}$$

$$= \begin{bmatrix} C5 & -S5 & 0 & 0 \\ C6*S5 & C6*C5 & -S6 & 0 \\ S6*S5 & S6*C5 & C6 & 0 \\ a5*C5+a4 & -a5*S5 & 0 & 1 \end{bmatrix}$$

$$\begin{bmatrix} C34*C2*C1-S34*S2*C1 & -C34*C2*S1+S34*S2*S1 \\ S1 & C1 \\ -S34*C2*C1-C34*S2*C1 & S34*C2*S1+C34*S2*S1 \\ a3*C3*C2*C1- & -a3*C3*C2*S1+ \\ (a3*S3+a2)*S2*C1 & (a3*S3+a2)*S2*S1 \end{bmatrix}$$

$$\begin{bmatrix} C34*S2+S34*C2 & 0 \\ 0 & 0 \\ -S34*S2+C34*C2 & 0 \\ a3*C3*S2+ & 1 \\ (a3*S3+a2)*C2+ & \\ a1+z & 0 \end{bmatrix} =$$

$$\begin{bmatrix} C5*C234*C1-S5*S1 & -C5*C234*S1-S5*C1 \\ C6*S5*C234*C1+C6*C5*S1+S6*S234*C1 & -C6*S5*C234*S1+C6*C5*C1-S6*S234*S1 \\ S6*S5*C234*C1+S6*C5*S1-C6*S234*C1 & -S6*S5*C234*S1+S6*C5*C1+C6*S234*S1 \\ (a5*C5+a4)*C234*C1-a5*S5*S1+ & -(a5*C5+a4)*C234*S1-a5*S5*C1- \\ +a3*C23*C1-a2*S2*C1 & -a3*C23*S1+a2*S2*S1 \end{bmatrix}$$

$$\begin{bmatrix} -C5*C234*S1-S5*C1 & C5*S234 & 0 \\ -C6*S5*C234*S1+C6*C5*C1-S6*S234*S1 & C6*S5*S234-S6*C234 & 0 \\ -S6*S5*C234*S1+S6*C5*C1+C6*S234*S1 & S6*S5*S234+C6*C234 & 0 \\ -(a5*C5+a4)*C234*S1-a5*S5*C1- & (a5*C5+a4)*S234+ & 1 \\ -a3*C23*S1+a2*S2*S1 & +a3*S23+a2*C2+a1+z & 0 \end{bmatrix}$$

Denna matris shall vara lika med matrisen:

$$\begin{bmatrix} n_x & n_y & n_z & 0 \\ x & y & z & 0 \\ 0 & 0 & 0 & 0 \\ x & y & z & 0 \\ a & a & a & 0 \\ x & y & z & 0 \\ p & p & p & 1 \\ x & y & z & 0 \end{bmatrix}$$

Detta ger villkoren:

$$n_x = a5*C5*C234*C1+a4*C234*C1+a3*C23*C1-a5*S5*S1-a2*S2*C1$$

$$n_y = -a5*C5*C234*S1-a4*C234*S1-a3*C23*S1-a5*S5*C1-a2*S2*S1$$

$$n_z = a5*C5*S234+a4*S234+a3*S23+a2*C2+a1+z_0$$

$$n_x = C5*C234*C1-S5*S1$$

$$n_y = -C5*C234*S1-S5*C1$$

$$n_z = C5*S234$$

Härvä framgår att vinkelns  $\varphi_6$  ej har någon inverkan på  $p$  och  $n$ .

För att förenkla fortsatta räkningar sättes  $\varphi_6=0^\circ$ .

Då kan  $M$  skrivas som produkten av fem matriser:

$$M = A_5 A_4 A_3 A_2 A_1$$

$$A_1 = \begin{bmatrix} C1 & -S1 & 0 & 0 \\ S1 & C1 & 0 & 0 \\ 0 & 0 & 1 & 0 \\ 0 & 0 & z_0 & 1 \end{bmatrix}$$

$$A_2 = \begin{bmatrix} C2 & 0 & S2 & 0 \\ 0 & 1 & 0 & 0 \\ -S2 & 0 & C2 & 0 \\ 0 & 0 & a1 & 1 \end{bmatrix}$$

$$A_3 = \begin{bmatrix} C3 & 0 & S3 & 0 \\ 0 & 1 & 0 & 0 \\ -S3 & 0 & C3 & 0 \\ 0 & 0 & a2 & 1 \end{bmatrix}$$

$$A_4 = \begin{bmatrix} C4 & 0 & S4 & 0 \\ 0 & 1 & 0 & 0 \\ -S4 & 0 & C4 & 0 \\ a3 & 0 & 0 & 1 \end{bmatrix}$$

$$A_5 = \begin{bmatrix} C5 & -S5 & 0 & 0 \\ S5 & C5 & 0 & 0 \\ 0 & 0 & 1 & 0 \\ C5*a5+a4 & -S5*a5 & 0 & 1 \end{bmatrix}$$

### Inversen av en transformationsmatris

$$T = \begin{bmatrix} n_x & o_x & a_x & 0 \\ n_y & o_y & a_y & 0 \\ n_z & o_z & a_z & 0 \\ p_x & p_y & p_z & 1 \end{bmatrix}$$

$$T^{-1} = \begin{bmatrix} n_x & o_x & a_x & -p \cdot n \\ n_y & o_y & a_y & -p \cdot o \\ n_z & o_z & a_z & -p \cdot a \\ p_x & p_y & p_z & 1 \end{bmatrix}$$

$p \cdot o$  betecknar skalärprodukten mellan vektorn  $p$  och  $o$  etc.